

207



UNIVERSIDAD NACIONAL AUTONOMA DE MEXICO

FACULTAD DE CIENCIAS

INTEGRACION NUMERICA APLICADA AL SISTEMA PLANETARIO

T E S I S

Que para obtener el Título de

F I S I C O

p r e s e n t a :

Gabino Castillo Martínez

México, D.F.

1989

TESIS CON
FALLA DE ORIGEN



Universidad Nacional
Autónoma de México



UNAM – Dirección General de Bibliotecas Tesis Digitales Restricciones de uso

DERECHOS RESERVADOS © PROHIBIDA SU REPRODUCCIÓN TOTAL O PARCIAL

Todo el material contenido en esta tesis está protegido por la Ley Federal del Derecho de Autor (LFDA) de los Estados Unidos Mexicanos (México).

El uso de imágenes, fragmentos de videos, y demás material que sea objeto de protección de los derechos de autor, será exclusivamente para fines educativos e informativos y deberá citar la fuente donde la obtuvo mencionando el autor o autores. Cualquier uso distinto como el lucro, reproducción, edición o modificación, será perseguido y sancionado por el respectivo titular de los Derechos de Autor.

INDICE

	Pag.
INTRODUCCION.	1
Capítulo 1 PROBLEMA DE DOS CUERPOS.	
1.1) Ecuación de movimiento.	4
1.2) Clasificación de las órbitas con respecto a la energía.	8
1.3) Periodo orbital y sinódico.	11
Capítulo 2 INTEGRACION NUMERICA.	
2.1) Métodos de integración numérica.	13
2.2) Método Runge-Kutta orden sexto de Fehlberg (RK6-F).	13
2.3) Método de Gauss-Jackson (G-J).	15
2.4) Método de serie de Taylor.	21
2.5) Adimensionalidad.	26
Capítulo 3 RESULTADOS.	
3.1) Trayectorias.	28
3.2) Periodo.	31
3.3) Energías.	40
3.4) Potencial.	43
3.5) Radio de Acción.	48
3.6) Energía potencial más energía cinética azimutal.	50
Capítulo 4 CONCLUSIONES.	52
APENDICE A. SISTEMA DE REFERENCIA.	
A.1) Sistema de coordenadas curvilíneas.	54
A.2) Sistema de coordenadas polares.	57

APENDICE B.

Radio de acción.	61
------------------	----

APENDICE C.

Tabla C.1 (Relación entre los operadores)	67
Tabla C.2 (Diagrama de Bucher para el método RK6-F)	68
Tabla C.3 (Coeficientes para el proceso GJ)	69

BIBLIOGRAFIA.	72
---------------	----

INTRODUCCION

Uno de los problemas fundamentales que ha intrigado al ser humano desde los albores de la civilización ha sido el movimiento planetario.

Los griegos, exceptuando algunos tales como Aristarco (ver mas adelante), que consideraban al hombre como el centro del universo, supusieron que la Tierra estaba inmóvil y que los cuerpos celestes se movían en torno a ella, describiendo órbitas circulares. Los cuerpos conocidos en aquel tiempo fueron ordenados de acuerdo con la distancia a la Tierra: la Luna, Mercurio, Venus, Sol, Marte, Júpiter y Saturno.

En el segundo siglo de la era cristiana, el astrónomo Ptolomeo de Alejandría desarrolló la teoría de los epiciclos (para explicar el movimiento de los cuerpos celestes): suponía que los planetas describían un círculo denominado *epiciclo*, cuyo centro a su vez se desplazaba en un círculo mayor, concéntrico a la Tierra, llamado *deferente*. El sistema de referencia que utilizó es el sistema de referencia geocéntrico.

Esta descripción fué aceptada como correcta hasta que, en el siglo XVI, el monje polaco Nicolás Copérnico (1473-1543), que buscaba una solución más simple, propuso que el movimiento de todos los planetas, incluyendo la Tierra, se efectuaba en torno al Sol. La idea no era nueva, había sido propuesta por primera vez por el astrónomo griego Aristarco en el siglo tercero antes de Cristo. De acuerdo a Copérnico, el orden de las órbitas de los planetas con respecto al Sol era el siguiente: Mercurio, Venus, Tierra, Marte, Júpiter y Saturno, y la Luna giraba alrededor de la Tierra. Lo que Copérnico propuso esencialmente fué otro sistema de referencia situado en el Sol.

Basándose en la idea de Copérnico y en las observaciones del astrónomo Tycho Brahe (1546-1601), el astrónomo Johannes Kepler

(1571-1630) hace el descubrimiento de las leyes del movimiento planetario. Estas leyes denominadas leyes de Kepler, son una descripción cinemática del movimiento planetario y se enuncian de la siguiente manera:

- I. Los planetas describen órbitas elípticas, estando el Sol en uno de los focos.
- II. El vector posición de cualquier planeta con respecto al Sol barre áreas iguales en tiempos iguales.
- III. Los cuadrados de los periodos de revolución son proporcionales a los cubos de los semiejes mayores de los planetas al Sol.

La siguiente etapa en la historia de la astronomía fué una discusión de la dinámica del movimiento planetario y un esfuerzo por determinar la interacción responsable de tal movimiento, esto es, entender porque se mueven los planetas. Es aquí donde Issac Newton (1642-1727) llevó a cabo la formulación de la ley de gravitación universal, y nos dice:

La fuerza gravitacional con que se atraen mutuamente dos cuerpos es directamente proporcional al producto de sus masas e inversamente proporcional al cuadrado de la distancia entre ellos.

De este modo podemos establecer para un sistema de N-cuerpos, un sistema de ecuaciones diferenciales cuya solución se encuentra aplicando métodos de integración numérica, que aproximan la solución analítica. El primer método que se aplicó fué el de Euler, actualmente existen métodos de mayor eficiencia (e implícitamente contiene una expansión en serie de Taylor) como: Runge-Kutta, serie de Taylor, Gauss-Jackson, predictor de Adams, Cowell, etc..

En este trabajo aplicamos el método de integración numérica por expansión en serie de Taylor (orden séptimo) a las ecuaciones de

movimiento del sistema planetario para determinar las posiciones y velocidades de los planetas en el sistema heliocéntrico, durante un tiempo cercano a dos siglos; y damos el procedimiento de como se construye el método de integración numérica de Gauss-Jackson.

Determinamos el comportamiento de la energía potencial total de cada uno de ellos y la energía cinética total de cada uno de los miembros del sistema planetario y determinamos las energías relativas entre ellos; como una consecuencia del análisis de sus variaciones periódicas es posible reproducir, mediante técnicas de transformadas de Fourier y mínimos cuadrados, los periodos orbitales y sinódicos de cada uno de ellos, además de otros periodos relativos.

También estudiamos las variaciones del potencial de los miembros del sistema planetario, como una introducción a tiempo futuro, para el estudio de captura de cometas.

1.1) ECUACION DE MOVIMIENTO

En ocasiones no es necesario considerar un sistema de N cuerpos para describir el comportamiento de dos de sus miembros, es posible plantear las ecuaciones de movimiento mutuas de dos de ellos suponiéndolos aislados, para determinar de manera aproximada su comportamiento orbital real. Por ejemplo sistema Tierra-Luna, un planeta y el Sol. Sin embargo, en ambos casos debemos tomar en cuenta que la acción gravitatoria de otros cuerpos perturba el esquema simple de dos cuerpos.

El problema de dos cuerpos es un caso particular del problema de N cuerpos; tiene dos características importantes:

- i) Tiene solución analítica.
- ii) El problema puede simplificarse al de uno solo (masa reducida).

Newton fué el primero en establecerlo y resolverlo pues "si se tiene para un tiempo la posición y la velocidad de dos cuerpos de masas conocidas moviéndose bajo su mutua fuerza gravitatoria, entonces se puede calcular su posición y velocidad para otro tiempo" (A.E. ROY pp 69).

Consideremos un sistema conservativo constituido por dos masas puntuales m_1 y m_2 sometidas sólo a su fuerza de interacción gravitatoria. Tal sistema tiene 6 grados de libertad, es decir, su movimiento se puede describir en función de seis coordenadas independientes (3 por cada partícula), según se verá a continuación.

Sean \vec{r}_1 y \vec{r}_2 los vectores de posición para dos partículas (aisladas) de masas m_1 y m_2 respectivamente (fig.1.1), que interactúan

mutuamente.

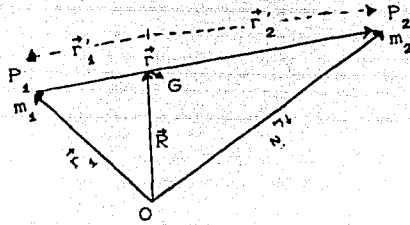


Fig.1.1

Podemos describir su movimiento ubicando el sistema de referencia o bien en el centro de masa ó en alguna de las partículas.

Utilizaremos el segundo procedimiento, ya que con este se simplifica el problema reduciéndolo al problema de un solo cuerpo. Aplicando las leyes de movimiento de Newton y su ley de "gravitación universal" se obtienen las ecuaciones de movimiento de las partículas bajo su mutua atracción gravitatoria:

$$m_1 \frac{d^2 \vec{r}_1}{dt^2} = G \frac{m_1 m_2}{r^2} \frac{\vec{r}}{r} \quad (1.1)$$

y

$$m_2 \frac{d^2 \vec{r}_2}{dt^2} = -G \frac{m_1 m_2}{r^2} \frac{\vec{r}}{r} \quad (1.2)$$

Sumando las ecuaciones (1.1) y (1.2), e integrándolas dos veces, tenemos

$$m_1 \vec{r}_1 + m_2 \vec{r}_2 = \vec{a}t + \vec{b}, \quad (1.3)$$

donde

\vec{a} y \vec{b} son dos vectores constantes.

Sea \vec{R} el vector de posición del centro de masa de las dos masas puntuales, \vec{R} se define como

$$M\vec{R} = m_1 \vec{r}_1 + m_2 \vec{r}_2, \quad (1.4)$$

donde

$$M = m_1 + m_2.$$

Derivando la ecuación (1.3) con respecto al tiempo, considerando masas constantes y utilizando la ecuación (1.4), tenemos:

$$M \frac{d\vec{R}}{dt} = \vec{a}.$$

Esta relación demuestra que el centro de masa del sistema se mueve con velocidad constante.

Las ecuaciones (1.1) y (1.2) las podemos escribir como

$$\frac{d^2 \vec{r}_1}{dt^2} = Gm_2 \frac{\vec{r}}{r^3} \quad (1.5)$$

y

$$\frac{d^2 \vec{r}_2}{dt^2} = -Gm_1 \frac{\vec{r}}{r^3}. \quad (1.6)$$

Restando la ecuación (1.5) de (1.6), obtenemos la ecuación de movimiento:

$$\frac{d^2 \vec{r}}{dt^2} + \mu \frac{\vec{r}}{r^3} = 0, \quad (1.7)$$

donde

$$\mu = G(m_1 + m_2)$$

y

$$\vec{r}_1 - \vec{r}_2 = -\vec{r}.$$

Multipliquemos vectorialmente \vec{r} con la ecuación (1.7) e integrando, tenemos

$$\vec{r} \times \frac{d\vec{r}}{dt} = \vec{h}; \quad (1.8)$$

\vec{h} es un vector constante, conocido como vector de momento angular e indica que el movimiento se realiza en un plano.

Para resolver la ecuación de movimiento utilizamos el sistema de coordenadas polares.

Los vectores de posición, velocidad y aceleración en el sistema coordinado polar son (ecuaciones (A.18), (A.21) y (A.23); apéndice A), respectivamente:

$$\vec{r} = r \hat{e}_r ;$$

$$\dot{\vec{r}} = \dot{r} \hat{e}_r + r \dot{\theta} \hat{e}_\theta ; \quad (1.9)$$

$$\ddot{\vec{r}} = (\ddot{r} - r \dot{\theta}^2) \hat{e}_r + \frac{1}{r} \frac{d}{dt} (r^2 \dot{\theta}) \hat{e}_\theta .$$

Se puede probar que la norma de $\dot{\vec{r}}$ (ecuación (1.8)) en el sistema de coordenadas polares está dada por:

$$r^2 \dot{\theta} = h. \quad (1.10)$$

Efectuando el producto escalar de $\dot{\vec{r}}$ con la ecuación (1.7) e integrando, tenemos

$$\frac{1}{2} \dot{\vec{r}} \cdot \dot{\vec{r}} - \frac{\mu}{r} = C, \quad (1.11)$$

donde

C: es una constante.

La ecuación (1.11) es la ecuación de conservación de energía por unidad de masa; $\frac{1}{2} \dot{\vec{r}} \cdot \dot{\vec{r}}$ está relacionada con la energía cinética y $-\frac{\mu}{r}$ con la energía potencial.

Sustituyendo (1.9) en la ecuación (1.7), obtenemos la ecuación de movimiento en el sistema de coordenadas polares ; y esta es,

$$\ddot{r} - r \dot{\theta}^2 = - \frac{\mu}{r^2} \quad (1.12)$$

y

$$\frac{1}{r} \frac{d}{dt} (r^2 \dot{\theta}) = 0. \quad (1.13)$$

Haciendo la sustitución de $u = 1/r$ y eliminando el tiempo entre las ecuaciones (1.12) y (1.13), tenemos

$$\frac{d^2u}{d\theta^2} + u = \frac{\mu}{h^2} \quad (1.14)$$

La solución general de esta ecuación es

$$u = \frac{\mu}{h^2} + A \cos(\theta - \omega), \quad (1.15)$$

donde A y ω son dos constantes de integración.

Reintroduciendo r, la ecuación (1.15) se convierte en

$$r = \frac{h^2/\mu}{1 + (Ah^2/\mu)\cos(\theta - \omega)}, \quad (1.16)$$

puesto que la ecuación de la cónica en forma polar está dado por:

$$r = \frac{p}{1 + e \cos(\theta - \omega)}$$

así que

$$p = h^2/\mu$$

y

$$e = Ah^2/\mu$$

1.2) CLASIFICACION DE LAS ORBITAS CON RESPECTO A LA ENERGIA

Como se demostró en la sección 1.1, las únicas órbitas posibles bajo la acción de una fuerza central inversamente proporcional al cuadrado de la distancia son órbitas elípticas ($0 \leq e < 1$), órbitas parabólicas ($e = 1$), y órbitas hiperbólicas ($e > 1$).

Conociendo la excentricidad "e" es posible saber de qué órbita se trata, pero existe otro método para clasificarlas, basado en la energía y es el siguiente:

Se consideran órbitas baricéntricas; en la figura 1.1 P₁ y P₂ son las posiciones de las dos partículas de masa m₁ y m₂, O es un punto de

referencia fijo, y G es el centro de masa de las dos partículas.

Los vectores desde G a P₁ y P₂ son \vec{r}'_1 y \vec{r}'_2 respectivamente. Entonces

$$m_1 \vec{r}'_1 = -m_2 \vec{r}'_2$$

y

$$\vec{r}'_1 - \vec{r}'_2 = -\vec{r},$$

así que tenemos

$$\left. \begin{aligned} \vec{r}'_1 &= -\left(\frac{m_2}{M}\right) \vec{r} \\ \vec{r}'_2 &= \left(\frac{m_1}{M}\right) \vec{r} \end{aligned} \right\} \quad (1.17)$$

donde M es la suma de las masas.

Como el centro de masa viaja con velocidad constante, y utilizando la segunda ley de Kepler, tenemos

$$\left. \begin{aligned} r_1'^2 \dot{\theta} &= h_1 \\ r_2'^2 \dot{\theta} &= h_2 \end{aligned} \right\} \quad (1.18)$$

Sustituyendo la ecuación (1.17) en la ecuación (1.18), llegamos a:

$$h_1 = \left[\frac{m_2}{M} \right]^2 r^2 \dot{\theta} = \left[\frac{m_2}{M} \right]^2 h,$$

ya que

$$r^2 \dot{\theta} = h;$$

similarmente

$$h_2 = \left[\frac{m_1}{M} \right]^2 r^2 \dot{\theta} = \left[\frac{m_1}{M} \right]^2 h.$$

Tomemos la ecuación de la energía (1.11) y reescribámosla de la siguiente forma:

$$\frac{1}{2} V^2 - \mu/r = C, \quad (1.19)$$

donde $\mu = G(m_1 + m_2)$.

Si V_1 y V_2 son las velocidades de las masas m_1 y m_2 con respecto al centro de masa, la energía total E está dada por:

$$E = \frac{1}{2} m_1 V_1^2 + \frac{1}{2} m_2 V_2^2 - \frac{Gm_1 m_2}{r}, \quad (1.20)$$

donde la suma de los dos primeros términos es la energía cinética y $-Gm_1 m_2/r$ es la energía potencial del sistema.

La velocidad en coordenadas polares para la velocidad V_1 es:

$$V_1^2 = \dot{r}_1^2 + r_1^2 \dot{\theta}^2 = \left[\frac{m_2}{M} \right]^2 (r^2 + r^2 \dot{\theta}^2) = \left[\frac{m_2}{M} \right]^2 V^2, \quad (1.21)$$

similarmente para V_2 :

$$V_2^2 = \left[\frac{m_1}{M} \right]^2 V^2. \quad (1.22)$$

Sustituyendo las ecuaciones (1.21) y (1.22) en la ecuación (1.20) y comparándola con la ecuación (1.19), tenemos:

$$E = \frac{m_1 m_2}{m_1 + m_2} \left[\frac{1}{2} V^2 - \mu/r \right] = \frac{m_1 m_2}{m_1 + m_2} C. \quad (1.23)$$

Sea m_1 la masa de una partícula prueba y m_2 la masa de un planeta y que se cumpla que $m_2 \gg m_1$, entonces

$$E = m_1 \left[\frac{1}{2} V^2 - \mu'/r \right] = m_1 C, \quad (1.24)$$

donde $\mu' = Gm_2$; se ve que la velocidad V para una distancia dada es el factor de decisión. Así tenemos (Roy pp 75-95):

i) Para una elipse, $V^2 = \mu[(2/r) - (1/a)]$; Aquí $C = -\mu/2a$.

ii) Para una parábola, $V^2 = 2\mu/r$; Aquí $C = 0$.

iii) Para una hipérbola, $V^2 = \mu[(2/r) + (1/a)]$; Aquí $C = \mu/2a$.

Aquí para una órbita cerrada, la energía total debe ser negativa.

1.3) PERIODOS ORBITAL Y SINODICO

El periodo orbital es el tiempo que tarda un planeta en dar una vuelta en torno al sol; se calcula a través de la tercera ley de Kepler $T^2 \propto a^3$.

El periodo sinódico es el tiempo entre sucesivas configuraciones similares de dos planetas respecto al sol; particularmente si T_P es el periodo orbital de un planeta y T_T el de la Tierra, el periodo sinódico T_S para un planeta interior (el radio de su órbita es menor que el de la Tierra) está relacionado con T_P y T_T por:

$$\frac{1}{T_S} = \frac{1}{T_P} - \frac{1}{T_T} \quad (1.25)$$

y para un planeta exterior (su radio orbital es mayor al de la Tierra) está dado por:

$$\frac{1}{T_S} = \frac{1}{T_T} - \frac{1}{T_P} \quad (1.26)$$

Estas relaciones son derivadas para órbitas coplanares circulares y el mecanismo es el siguiente:

Suponemos velocidades angulares constantes $d\theta/dt = \omega$, si integramos de 0 a 2π , tenemos

$$2\pi = \omega T,$$

donde T es el periodo orbital. Para el planeta P y la Tierra, tenemos:

$$\omega_P = \frac{2\pi}{T_P} \quad \text{y} \quad \omega_T = \frac{2\pi}{T_T}. \quad (1.27)$$

Sean θ_P y θ_T los desplazamiento angulares del planeta y la Tierra respectivamente.

A medida que el planeta P va avanzando, su distancia angular θ relativa a la Tierra está cambiando y está dada como $\theta = \theta_P - \theta_T$; su variación con el tiempo está dada por $\frac{d\theta}{dt} = \frac{d(\theta_P - \theta_T)}{dt}$, es decir:

$$\omega = \omega_P - \omega_T. \quad (1.28)$$

Cuando θ alcanza el valor 2π , el tiempo transcurrido será el periodo sinódico T_s . es decir,

$$\omega = \frac{2\pi}{T_s}$$

Utilizando las ecuaciones (1.27) y (1.28) en esta última, llegamos a la ecuación (1.25)

$$\frac{1}{T_s} = \frac{1}{T_P} - \frac{1}{T_T}$$

Si el planeta P es exterior, tomamos la diferencia $\theta = \theta_T - \theta_P$ y siguiendo el desarrollo descrito arriba se llega a la ecuación (1.26).

CAPITULO 2 INTEGRACION NUMERICA

2.1) METODOS DE INTEGRACION NUMERICAS

La solución de una ecuación diferencial mediante algún método de integración numérica nos permite obtener una colección de puntos que representan los valores de las variables a lo largo de un intervalo de integración; para lograr esto es necesario conocer sus valores en el instante t_i de tal manera que nos permitan su evaluación en el instante t_{i+1} mediante un incremento o paso de integración.

En general los métodos de integración numéricas son métodos de iteración de una o varias variables y se pueden clasificar como métodos de un paso y de varios pasos (multipasos).

i) Métodos de un paso:

Son aquellos que para poder determinar la solución al tiempo t_{i+1} , utilizan la solución del instante anterior t_i . Ejemplos de esta técnica son los métodos de Runge-Kutta, de serie de Taylor, y métodos de extrapolación de Bulirsch y Stoer.

ii) Métodos multipasos:

Son aquellos que para determinar el valor de las variables en el instante t_{i+1} , utilizan al menos dos soluciones de la ecuación diferencial de los instantes anteriores t_i . Como ejemplos, el método Predictor-Corrector de Adams, y el método de Gauss-Jackson.

2.2) METODO RUNGE-KUTTA ORDEN SEXTO DE FEHLBERG (RK6-F)

Los métodos de Runge-Kutta utilizan el error de truncamiento local y al mismo tiempo eliminan el cálculo y la evaluación de las derivadas de $f(x,y)$. El primer paso para derivar el método consiste en definir una función de la siguiente manera:

$$y = y_0 + h \sum_{j=0}^{k-1} c_k f_{kj}$$

donde

$$f(x, y) = dy/dx,$$

$f_0 = f(x_0, y_0)$ es el valor inicial.

$$f_k = f \left[x_0 + a_k h, y_0 + h \sum_{j=0}^{k-1} b_{kj} f_j \right] \quad k = 1, 2, \dots, n$$

k da el número de evaluaciones

Donde los coeficientes a_k , b_{kj} y c_k se determinan aplicando el teorema de Taylor en dos variables (Burden pp 244).

El método más comúnmente aplicado es el de Runge-Kutta de cuarto orden. Se han realizados varios trabajos que mejoran la eficiencia de esta técnica (Shanks(1966) y Bucher(1965). Fehlberg(1968,1972) desarrolló un método para sexto orden, requiriendo unicamente nueve evaluaciones de las derivadas (usualmente conocido como procedimiento RK6-F), incluye un procedimiento de control para el cambio del paso de integración, el cual está basado en el error de truncamiento local. Por ejemplo para integrar una ecuación diferencial de primer orden $dy/dx = f(x, y)$, se utiliza el siguiente procedimiento:

$$f_0 = f(x_0, y_0),$$

$$f_k = f \left[x_0 + a_k h, y_0 + h \sum_{j=0}^{k-1} b_{kj} f_j \right] \quad k = 1, 2, \dots, n$$

donde h es el tamaño del paso (Δx), entonces el valor de "y" al final del paso está dado como

$$y = y_0 + h \sum_{j=0}^k c_j f_j \quad (\text{error} \propto h^3)$$

Al aplicarle el teorema de Taylor en dos variables, se obtienen 37 ecuaciones (NASA TR R-287) que permiten la evaluación de los coeficientes; para resolver estas ecuaciones se requieren algunas condiciones (Nasa TR R -287), por ejemplo:

$$a_7 = a_9 = 1, a_8 = 0, c_2 = 0, \text{ etc.}$$

Los valores obtenidos de los coeficientes a, b y c se encuentran en la tabla C.2 (apéndice C). y una estimación del error de truncamiento en "y", está dado por

$$TE = \frac{11}{270} (f_0 + f_7 - f_8 - f_9)h.$$

2.3) METODO GAUSS-JACKSON (GJ)

Para encontrar las soluciones de cada una de las ecuaciones diferenciales de segundo orden, es necesario (para este método) determinar sumas y diferencias entre los datos anteriores al instante en el que se desea evaluar.

Contiene un método predictor (calcula el siguiente dato) y uno corrector (corrige el dato calculado); el predictor está expresado en términos del conjunto de datos anteriores; y el corrector contiene además el dato calculado.

Este método es aplicable a ecuaciones diferenciales de segundo orden y el mecanismo es el siguiente:

$$\text{Sea } y_i = f_i(t, y_1, y_2, \dots, y_n, \dot{y}_1, \dot{y}_2, \dots, \dot{y}_n) \quad (2.1)$$

la forma de la ecuación diferencial de segundo orden, donde

i es el índice que denota el número de ecuaciones diferenciales de segundo orden.

Sean

$$y_{i,k}, \dot{y}_{i,k}, y_{i,k} \quad \forall k = 0, 1, 2, \dots, l$$

los datos iniciales; donde l : denota el orden del proceso.

La idea es construir la primera y segunda suma en término del operador de diferencia hacia atrás. Para llegar a esto hacemos lo siguiente:

Como primer paso vamos a determinar la primera y segunda suma de f_i en términos del operador de diferencia central (ver más adelante); para determinarlos usaremos los operadores dados en Allied pp 54.

Sea

$$D = D_t = \frac{d}{dt}$$

Si derivamos $y_{i,k}$ una vez y dos veces $y_{i,k}$, tenemos

$$Dy_{i,k} = f_{i,k} \quad \text{y} \quad D^2y_{i,k} = f_{i,k}$$

Si las integramos e ignoramos las constantes de integración, tenemos

$$\dot{y}_{i,k} = D^{-1}f_{i,k} \quad (2.2)$$

y

$$y_{i,k} = D^{-2}f_{i,k}, \quad (2.3)$$

donde D^{-1} es el operador de integración.

Por otro lado:

$$\nabla^{-1}f_{i,k} = \nabla^{-1}f_{i,k} + h^{-1}\dot{y}_{i,k} - h^{-1}\dot{y}_{i,k} \quad (2.4)$$

$$\delta^{-2}f_{i,k} = \delta^{-2}f_{i,k} + h^{-2}y_{i,k} - h^{-2}y_{i,k}, \quad (2.5)$$

donde ∇^{-1} : es el operador de suma hacia delante y está definido

$$\text{como} \quad \nabla^{-1}f_p \equiv \nabla^{-1}f_{p-1} + f_p;$$

δ^{-1} : es el operador de suma central y es definido como

$$\delta^{-1}f_p \equiv \delta^{-1}f_{p-1} + f_{p-1/2},$$

entonces

$$\delta^{-2}f_p = \delta^{-2}f_{p-1} + \delta^{-1}f_{p-1/2}.$$

Utilizando las ecuación (2.2) y (2.3) en las ecuaciones (2.4) y

(2.5), llegamos a las expresiones:

$$\nabla^{-1}f_{i,k} = h^{-1}y_{i,k} + [\nabla^{-1} - (hD)^{-1}]f_{i,k}, \quad (2.6)$$

donde $h = t_{k+1} - t_k$ es el intervalo de tabulación.

$$\delta^{-2}f_{i,k} = h^{-2}y_{i,k} + [\delta^{-2} - (hD)^{-2}]f_{i,k}.$$

Si le aplicamos a esta última ecuación el vector desplazamiento E, el cual está definido como $Ef_p \equiv f_{p+1}$ y sabiendo que la relación entre los operadores δ^{-2}, E y ∇^{-2} (ALLIED pp 54 o en la tabla C.1, apéndice C) es $\delta^{-2}E = \nabla^{-2}$, entonces

$$\nabla^{-2}f_{i,k-1} = h^{-2}y_{i,k} + [\delta^{-2} - (hD)^{-2}]f_{i,k}. \quad (2.7)$$

Por otro lado la relación entre μ y δ es $\mu = (1 + \frac{1}{4}\delta^2)^{1/2}$; la relación entre D y δ es $hD = 2\sinh^{-1}(\frac{1}{2}\delta)$; y entre ∇^{-1}, μ y δ^{-1} es $\nabla^{-1} = \frac{1}{2} + \mu\delta^{-1}$.

Donde μ : es el operador promedio y está definido como

$$\mu f_p \equiv \frac{1}{2}(f_{p+1/2} + f_{p-1/2})$$

Utilizando estas relaciones, sustituyendolas en las ecuaciones (2.6) y (2.7) y haciendo un desarrollo algebraico, obtenemos:

$$\nabla^{-1}f_{i,k} = h^{-1}y_{i,k} + \frac{1}{2}f_{i,k} + \mu \left\{ \delta^{-1} - \frac{1}{2}(1 + \frac{1}{4}\delta^2)^{-1/2} (\sinh^{-1} \frac{1}{2}\delta)^{-1} \right\} f_{i,k} \quad (2.8)$$

y

$$\nabla^{-2}f_{i,k-1} = h^{-2}y_{i,k} + \left\{ \delta^{-2} - \frac{1}{4}(\sinh^{-1} \frac{1}{2}\delta)^{-2} \right\} f_{i,k}. \quad (2.9)$$

Las ecuaciones (2.8) y (2.9) la vamos a desarrollar en serie de potencia; las series que se utilizan son

$$(1 + X)^P = 1 + PX + P \frac{(P-1)}{2!} X^2 + P \frac{(P-1)(P-2)}{3!} X^3 + \dots \quad (2.10)$$

$$\sinh^{-1}X = X - \frac{1}{2 \cdot 3} X^3 + \frac{1 \cdot 3}{2 \cdot 4 \cdot 5} X^5 - \frac{1 \cdot 3 \cdot 5}{2 \cdot 4 \cdot 6 \cdot 7} X^7 + \dots \quad (2.11)$$

Utilizando la primera serie para desarrollar $(1 + \frac{1}{4}\delta^2)^{-1/2}$,

tenemos:

$$\left(1 + \frac{1}{4}\delta^2\right)^{-1/2} = 1 - \frac{\delta^2}{2} + \frac{3}{2^3}\delta^4 - \frac{5}{2^{10}}\delta^6 + \dots$$

y utilizando la segunda serie para desarrollar $\sinh^{-1} \frac{1}{2}\delta$, tenemos

$$\left(\sinh^{-1} \frac{1}{2}\delta\right) = \frac{1}{2}\delta - \frac{1}{3}\frac{\delta^3}{2^4} + \frac{3}{5}\frac{\delta^5}{2^8} - \frac{5}{7}\frac{\delta^7}{2^{11}} + \dots$$

y desarrollando en serie de potencia a $\left(\sinh^{-1} \frac{1}{2}\delta\right)^{-1}$; obtenemos

$$\nabla^{-1}f_{i,k} = h^{-1}y_{i,k} + \left\{ \frac{1}{2} + \frac{1}{12}\mu\delta - \frac{11}{720}\mu\delta^3 + \frac{191}{60480}\mu\delta^5 + \dots \right\} f_{i,k}; \quad (2.12)$$

similarmente

$$\nabla^{-2}f_{i,k-1} = h^{-2}y_{i,k} + \left\{ \frac{1}{12} + \frac{1}{240}\delta^2 - \frac{91}{60480}\delta^4 + \dots \right\} f_{i,k} \quad (2.13)$$

Como se observa estas dos últimas ecuaciones están en términos del operador de diferencia central.

Como segundo paso hay que transformar estas dos últimas ecuaciones en término del operador de diferencia hacia atrás ∇ , definido como

$$\nabla f_p \equiv f_p - f_{p-1}$$

y es conveniente utilizarlo para el propósito de programación

La relación entre los operadores μ, δ, ∇, E está dada por

$$\mu\delta = \nabla E - \frac{1}{2}\nabla^2 E;$$

y la relación entre los operadores δ, ∇, E es $\delta^2 = \nabla^2 E$.

Tomando estas relaciones entre los operadores y aplicandola a $f_{i,k}$, se tiene

$$\mu\delta^{2n-1}f_{i,k} = \nabla^{2n-1}f_{i,k+n} - \frac{1}{2}\nabla^{2n}f_{i,k+n} \quad \forall n = 1, 2, 3, \dots$$

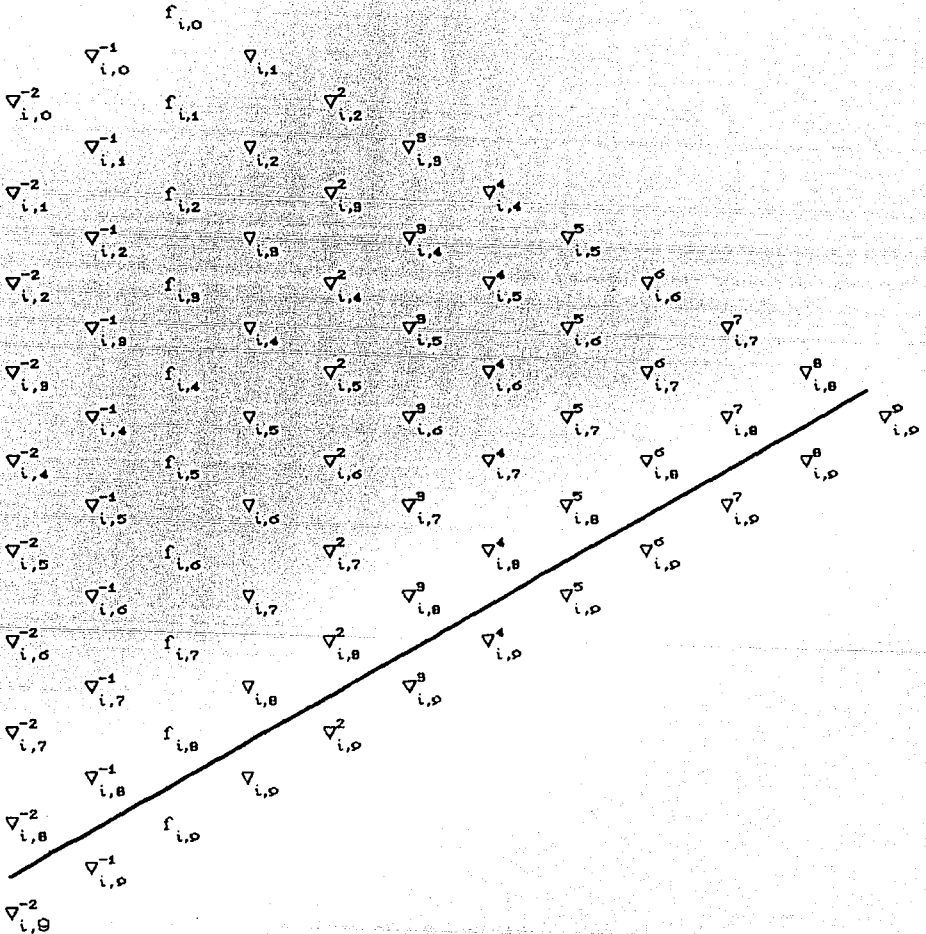
$$\delta^{2n}f_{i,k} = \nabla^{2n}f_{i,k+n} \quad \forall n = 1, 2, 3, \dots$$

Utilizando estas dos últimas expresiones en las ecuaciones (2.12) y (2.13), desarrollando y agrupando, tenemos

$$\nabla^{-1}f_{i,k} = h^{-1}y_{i,k} - A_0 f_{i,k} - A_1 \nabla f_{i,k+1} - A_2 \nabla^2 f_{i,k+1} - A_3 \nabla^3 f_{i,k+2} - A_4 \nabla^4 f_{i,k+2} - \dots \quad (2.14)$$

$$\nabla^{-2} f_{i,k-1} = h^{-2} y_{i,k} - B_0 f_{i,k} - B_2 \nabla^2 f_{i,k+1} - B_4 \nabla^4 f_{i,k+2} - \dots \quad (2.15)$$

donde los coeficientes A y B están dados en la tabla C.3 (apéndice C); el mecanismo puede ser visto mas claramente en la tabla de diferencias, dada a continuación para octavo orden. Los términos que se encuentran arriba de la diagonal son utilizados para este orden. Los $f_{i,0}$ a $f_{i,8}$ son valores iniciales, los $\nabla^{-1}_{i,4}$ y $\nabla^{-2}_{i,8}$ son calculados usando las ecuaciones (2.14) y (2.15).



La construcción del predictor y corrector es como sigue:

i) Predictor:

Despejando \dot{y}_i y y_i de las ecuaciones (2.6) y (2.7) respectivamente, aplicandole el operador de desplazamiento y sabiendo que $\delta^{-2}E = \nabla^{-2}$, tenemos

$$\dot{y}_{i,k+1} = h\nabla^{-1}f_{i,k} + h\left\{ (hD)^{-1}E - \nabla^{-1} \right\} f_{i,k} \quad (2.16)$$

$$y_{i,k+1} = h^2\nabla^{-2}f_{i,k} + h^2\left\{ (hD)^{-2}E - \nabla^{-2} \right\} f_{i,k} \quad (2.17)$$

Expresaremos estas dos últimas ecuaciones en términos de operadores de diferencia de atraso. Se tiene que las relaciones entre los operadores D, ∇ es $hD = -\ln(1-\nabla)$; la relación entre los operadores $\delta^{-1}, \nabla^{-1}, E$ es $\delta^{-2} = \nabla^{-2}E^{-1}$; y la relación entre los operadores E, ∇ es $E = (1-\nabla)^{-1}$.

Sustituyendo estas relaciones en las ecuaciones (2.16) y (2.17) y aplicando la ecuación (2.10) y la serie de potencia

$$\ln(1-X) = X - \frac{X^2}{2} + \frac{X^3}{3} - \frac{X^4}{4} \dots \quad \forall |X| < 1$$

llegamos

$$\dot{y}_{i,k+1} = h\left\{ \nabla^{-1}f_{i,k} + F_0 f_{i,k} + \sum_{j=1}^l F_j \nabla^j f_{i,k} \right\} \quad (2.18)$$

$$y_{i,k+1} = h^2\left\{ \nabla^{-2}f_{i,k} + C_0 f_{i,k} + \sum_{j=1}^l C_j \nabla^j f_{i,k} \right\} \quad (2.19)$$

$$\forall l = 1, 2, \dots, n \quad \text{y} \quad k = 0, 1, 2, \dots, l.$$

donde los coeficientes son dados en la tabla C.3 (apéndice C). El método predictor usa la tabla de diferencia abajo de la línea diagonal (para $k=8$).

ii) Corrector:

Si un método corrector es requerido, las fórmulas relevantes son obtenidas al despejar \dot{y}_i y y_i de las ecuaciones (2.16) y (2.17) y reemplazando $f_{i,k}$ por $E^{-1}f_{i,k+1}$ en el lado derecho, y después de una

expansión en serie se llega a

$$y_{i,k+1} = h \left\{ \nabla^{-1} f_{i,k} + E_0 f_{i,k+1} + \sum_{j=1} E_j \nabla^j f_{i,k+1} \right\}, \quad (2.20)$$

$$y_{i,k+1} = h^2 \left\{ \nabla^{-2} f_{i,k} + D_0 f_{i,k+1} + \sum_{j=1} D_j \nabla^j f_{i,k+1} \right\}, \quad (2.21)$$

donde los coeficientes son dados en la tabla C.3 (apéndice C).

2.4) METODO DE SERIE DE TAYLOR

Todos los métodos de integración numérica usados hasta el presente en mecánica celeste, ya sea aquellos que utilizan diferencias o aquellos del tipo Runge-Kutta, se basan en la expansión en serie de Taylor.

El método de integración en serie de Taylor fué aplicado al problema de N cuerpos por Cruz-Gonzalez y Lecar (1968), ellos proponen una expansión en serie para las posiciones y velocidades de un sistema de partículas evaluadas para un tiempo $t + \Delta t$. EL desarrollo en serie de Taylor es de la forma

$$F(t+\Delta t) = F(t) + \sum_{i=1}^{\infty} \frac{F^{(i)}(t)}{i!} (\Delta t)^i \quad (2.22)$$

donde $F^{(i)}$ es la i -ésima derivada de F .

El intervalo de integración en lugar de ser variable (como lo toman Cruz-González y Lecar) lo consideramos constantes; dado que Mercurio rige el paso de integración en el sistema planetario, realizamos varias pruebas en torno a esta consideración y encontramos que el paso de integración más adecuado es $\Delta t = 0.2$ días.

Los desarrollos en serie para las posiciones y las velocidades están dadas por:

$$\vec{r}(t+\Delta t) = \sum_{n=0}^6 \vec{r}^{(n)}(t) \frac{(\Delta t)^n}{n!} \quad (2.23)$$

$$\vec{r}(t+\Delta t) = \sum_{n=0}^5 \vec{r}^{(n+1)}(t) \frac{(\Delta t)^n}{n!} \quad (2.24)$$

Donde los coeficientes de $(\Delta t)^n$ se obtienen al derivar sucesivamente las ecuaciones de movimiento, es decir, derivar la ecuación para la aceleración de cada partícula, que está dada como:

$$\vec{a}_i = -G \sum_{\substack{j=0 \\ j=i}}^p m_j \frac{\vec{r}_{ij}}{r_{ij}^3} \quad (2.25)$$

donde $\vec{r}_{ij} = \vec{r}_i - \vec{r}_j$

sabemos

$$r_{ij}^n = (\vec{r}_{ij} \cdot \vec{r}_{ij})^{n/2}$$

derivandola respecto al tiempo, se llega

$$\frac{d}{dt}(r_{ij}^n) = n(\vec{r}_{ij} \cdot \dot{\vec{r}}_{ij}) r_{ij}^{n-2} \quad (2.26)$$

Derivando sucesivamente la ecuación (2.25) y utilizando la ecuación (2.26), se tienen

$$\vec{r}_i^{(0)} = \vec{r}_i$$

$$\dot{\vec{r}}_i^{(1)} = \dot{\vec{r}}_i$$

$$\ddot{\vec{r}}_i^{(2)} = -G \sum_{\substack{j=0 \\ j=i}}^p m_j \frac{\vec{r}_{ij}}{r_{ij}^3}$$

$$\vec{r}_i^{(3)} = -G \sum_{\substack{j=0 \\ j=i}}^p m_j \left\{ \frac{\dot{\vec{r}}_{ij}}{r_{ij}^3} - 3 \frac{\vec{r}_{ij} (\vec{r}_{ij} \cdot \dot{\vec{r}}_{ij})}{r_{ij}^5} \right\} \quad (2.27)$$

$$\vec{r}_i^{(4)} = -G \sum_{j=0}^p m_j \left\{ \frac{\vec{r}_{ij}^{(2)}}{r_{ij}^3} - 6 \frac{\vec{r}_{ij}^{(2)} (\dot{r}_{ij} \cdot \dot{r}_{ij})}{r_{ij}^5} + 3 \frac{\vec{r}_{ij}^{(2)}}{r_{ij}^5} \left[5 \frac{(\dot{r}_{ij} \cdot \dot{r}_{ij})^2}{r_{ij}^2} - (\dot{r}_{ij}^2 + \dot{r}_{ij} \cdot \ddot{r}_{ij}^{(2)}) \right] \right\} \quad (2.28)$$

Para aplicar este método a un problema de dinámica estelar, Flores (1976), se evaluó el término

$$\vec{r}_i^{(5)} = -G \sum_{j=0}^p m_j \left\{ \frac{\vec{r}_{ij}^{(3)}}{r_{ij}^3} - 9 \frac{\vec{r}_{ij}^{(3)} (\dot{r}_{ij} \cdot \dot{r}_{ij})}{r_{ij}^5} + 9 \frac{\vec{r}_{ij}^{(3)}}{r_{ij}^5} \left[5 \frac{(\dot{r}_{ij} \cdot \dot{r}_{ij})^2}{r_{ij}^2} - (\dot{r}_{ij}^2 + \dot{r}_{ij} \cdot \ddot{r}_{ij}^{(2)}) \right] + 3 \frac{\vec{r}_{ij}^{(2)}}{r_{ij}^5} \left[-3 \dot{r}_{ij}^2 \cdot \ddot{r}_{ij}^{(2)} + \dot{r}_{ij} \cdot \ddot{r}_{ij}^{(3)} + 15 \frac{(\dot{r}_{ij} \cdot \dot{r}_{ij}) (\dot{r}_{ij}^2 + \dot{r}_{ij} \cdot \ddot{r}_{ij}^{(2)})}{r_{ij}^2} - 35 \frac{(\dot{r}_{ij} \cdot \dot{r}_{ij})^3}{r_{ij}^4} \right] \right\} \quad (2.29)$$

Para aplicar este método a las ecuaciones de movimiento del sistema planetario, en este trabajo evaluamos dos términos más:

$$\vec{r}_i^{(6)} = -G \sum_{j=0}^p m_j \left\{ \frac{\vec{r}_{ij}^{(4)}}{r_{ij}^3} - 12 \frac{\vec{r}_{ij}^{(4)} (\dot{r}_{ij} \cdot \dot{r}_{ij})}{r_{ij}^5} + 9 \frac{\vec{r}_{ij}^{(2)}}{r_{ij}^5} \left[10 \frac{(\dot{r}_{ij} \cdot \dot{r}_{ij})^2}{r_{ij}^2} - 2 \dot{r}_{ij}^2 + \dot{r}_{ij} \cdot \ddot{r}_{ij}^{(2)} \right] + 4 \frac{\vec{r}_{ij}^{(2)}}{r_{ij}^5} \left[-3 \dot{r}_{ij}^2 \cdot \ddot{r}_{ij}^{(2)} + \dot{r}_{ij} \cdot \ddot{r}_{ij}^{(3)} + 45 \frac{(\dot{r}_{ij} \cdot \dot{r}_{ij}) (\dot{r}_{ij}^2 + \dot{r}_{ij} \cdot \ddot{r}_{ij}^{(2)})}{r_{ij}^2} - 105 \frac{(\dot{r}_{ij} \cdot \dot{r}_{ij})^3}{r_{ij}^4} \right] \right\}$$

$$\begin{aligned}
& 3 \frac{\dot{r}_{ij}^2}{r_{ij}^8} \left[- [3(r_{ij}^{(2)})^2 + 4\dot{r}_{ij}^2 \cdot \dot{r}_{ij}^{(8)} + \dot{r}_{ij}^2 \cdot \dot{r}_{ij}^{(4)}] + \right. \\
& \left. 15 \frac{(r_{ij}^2 + \dot{r}_{ij}^2 \cdot \dot{r}_{ij}^{(2)})^2}{r_{ij}^2} + 20 \frac{(3\dot{r}_{ij}^2 \cdot \dot{r}_{ij}^{(2)} + \dot{r}_{ij}^2 \cdot \dot{r}_{ij}^{(8)}) (\dot{r}_{ij}^2 \cdot \dot{r}_{ij}^{(2)})}{r_{ij}^2} \right] \\
& \left. - 210 \frac{(\dot{r}_{ij}^2 \cdot \dot{r}_{ij}^{(2)})^2 (r_{ij}^2 + \dot{r}_{ij}^2 \cdot \dot{r}_{ij}^{(2)})}{r_{ij}^4} + 315 \frac{(\dot{r}_{ij}^2 \cdot \dot{r}_{ij}^{(2)})^4}{r_{ij}^6} \right] \quad (2.30)
\end{aligned}$$

$$\dot{r}_i^{(7)} = -G \sum_{j=1}^p m_j \left\{ \frac{\dot{r}_{ij}^{(5)}}{r_{ij}^8} - 15 \frac{\dot{r}_{ij}^{(4)} (\dot{r}_{ij}^2 \cdot \dot{r}_{ij}^{(2)})}{r_{ij}^6} + 30 \frac{\dot{r}_{ij}^{(8)}}{r_{ij}^5} \left[5 \frac{(\dot{r}_{ij}^2 \cdot \dot{r}_{ij}^{(2)})^2}{r_{ij}^2} - (r_{ij}^2 + \right. \right.$$

$$\left. \dot{r}_{ij}^2 \cdot \dot{r}_{ij}^{(2)}) \right] - 30 \frac{\dot{r}_{ij}^{(2)}}{r_{ij}^5} \left[(3\dot{r}_{ij}^2 \cdot \dot{r}_{ij}^{(2)} + \dot{r}_{ij}^2 \cdot \dot{r}_{ij}^{(8)} + \right. \\
\left. - 15 \frac{(\dot{r}_{ij}^2 \cdot \dot{r}_{ij}^{(2)}) (r_{ij}^2 + \dot{r}_{ij}^2 \cdot \dot{r}_{ij}^{(2)})}{r_{ij}^2} + 45 \frac{(\dot{r}_{ij}^2 \cdot \dot{r}_{ij}^{(2)})^3}{r_{ij}^4} \right]$$

$$\begin{aligned}
& 15 \frac{\dot{r}_{ij}^2}{r_{ij}^8} \left[- [3(r_{ij}^{(2)})^2 + 4\dot{r}_{ij}^2 \cdot \dot{r}_{ij}^{(8)} + \dot{r}_{ij}^2 \cdot \dot{r}_{ij}^{(4)}] + \right. \\
& \left. 15 \frac{(r_{ij}^2 + \dot{r}_{ij}^2 \cdot \dot{r}_{ij}^{(2)})^2}{r_{ij}^2} + 20 \frac{(3\dot{r}_{ij}^2 \cdot \dot{r}_{ij}^{(2)} + \dot{r}_{ij}^2 \cdot \dot{r}_{ij}^{(8)}) (\dot{r}_{ij}^2 \cdot \dot{r}_{ij}^{(2)})}{r_{ij}^2} \right] \\
& \left. - 210 \frac{(\dot{r}_{ij}^2 \cdot \dot{r}_{ij}^{(2)})^2 (r_{ij}^2 + \dot{r}_{ij}^2 \cdot \dot{r}_{ij}^{(2)})}{r_{ij}^4} + 315 \frac{(\dot{r}_{ij}^2 \cdot \dot{r}_{ij}^{(2)})^4}{r_{ij}^6} \right] +
\end{aligned}$$

$$\begin{aligned}
& \frac{\vec{r}_{ij}}{r_{ij}} \left[-3C \cdot 10 \frac{\vec{r}_{ij}^{(2)} \cdot \vec{r}_{ij}^{(8)}}{r_{ij}^2} + 5 \frac{\vec{r}_{ij} \cdot \vec{r}_{ij}^{(4)} + \vec{r}_{ij} \cdot \vec{r}_{ij}^{(5)}}{r_{ij}^2} + \right. \\
& + 150 \frac{(3\vec{r}_{ij} \cdot \vec{r}_{ij}^{(2)} + \vec{r}_{ij} \cdot \vec{r}_{ij}^{(8)}) (C r_{ij}^2 + \vec{r}_{ij} \cdot \vec{r}_{ij}^{(2)})}{r_{ij}^2} + \\
& \left. - \frac{[3(C r_{ij}^{(2)})^2 + 4\vec{r}_{ij} \cdot \vec{r}_{ij}^{(8)} + \vec{r}_{ij} \cdot \vec{r}_{ij}^{(4)}] (C \vec{r}_{ij} \cdot \vec{r}_{ij}^{(2)})}{r_{ij}^2} - \right. \\
& \left. - \frac{(C r_{ij}^2 + \vec{r}_{ij} \cdot \vec{r}_{ij}^{(2)})^2 (C \vec{r}_{ij} \cdot \vec{r}_{ij}^{(2)})}{r_{ij}^4} - \right. \\
& \left. 1050 \frac{(3\vec{r}_{ij} \cdot \vec{r}_{ij}^{(2)} + \vec{r}_{ij} \cdot \vec{r}_{ij}^{(8)}) (C \vec{r}_{ij} \cdot \vec{r}_{ij}^{(2)})^2}{r_{ij}^4} \right] + \\
& \left. \left. \frac{9450 (C \vec{r}_{ij} \cdot \vec{r}_{ij}^{(2)})^3 (C r_{ij}^2 + \vec{r}_{ij} \cdot \vec{r}_{ij}^{(2)})}{r_{ij}^6} - 10395 \frac{(C \vec{r}_{ij} \cdot \vec{r}_{ij}^{(2)})^5}{r_{ij}^8} \right] \right\} \quad (2.31)
\end{aligned}$$

Se han creado técnicas numéricas cuyo objetivo es, generalmente, el encontrar aproximaciones suficientemente exactas con un esfuerzo mínimo, por ello es necesario contar con una forma de comparar la eficiencia de diversos métodos de aproximación con respecto a su uso en computación. Merson (1975), en su estudio comparativo de métodos numéricos de perturbación, concluye que para las ecuaciones de segundo orden el método de octavo orden de Gauss-Jackson aplicado a las ecuaciones de Cowell (con regularización, A.E.ROY pp 217-218) es probablemente la combinación óptima. Las singularidades que ocurren

durante colisiones pueden eliminarse mediante la elección apropiada de una variable independiente. Este proceso es conocido como regularización. Herrick (1972) dice que el método de Gauss-Jackson (también llamado "de segunda-suma gaussiana") es uno de los más eficientes. Los astrónomos del Real Observatorio de Greenwich (H.M. Nautical...) compararon diferentes métodos a través del cálculo de órbitas, y encontraron que para resultados precisos recomienda el método de Cowell o Encke (Astrodynamic $\underline{\geq}$ pp 22-28) usando el método de Gauss-Jackson.

2.5) ADIMENSIONALIDAD

En la aplicación de los métodos de integración numérica a la solución del problema de N cuerpos, se suelen reducir las variables a su forma adimensional, como los parámetros utilizados en este tipo de problemas llevan a números que exceden la capacidad de las máquinas, el proceso de adimensionalizar permite el cálculo numérico en números más pequeños, otra razón es, al escoger adecuadamente los parámetros de adimensionalidad tendremos mejor precisión (esto está relacionado hasta que cifra significativa es considerada).

El mecanismo para encontrar las expresiones que nos permitan adimensionalizar las variables es el siguiente:

Sean

UL = unidad de longitud.

UM = unidad de masa.

UV = unidad de velocidad.

UA = unidad de aceleración.

UE = unidad de energía.

$\xi_0 = 6.672 \times 10^{-8}$

UL = K_1 cm

$$UM = K_2 \text{ gr}$$

Se sabe que

$$G = 6.672 \times 10^{-8} \text{ cm}^3 / (\text{gr} \cdot \text{seg}^2)$$

donde K_1 y K_2 son constantes, entonces

$$G = \xi_0 \frac{\left(\frac{1 \text{ UL}}{K_1} \right)^3}{\left(\frac{1 \text{ UM}}{K_2} \right) \text{seg}^2} = 1 \frac{\text{UL}^3}{\text{UM}} \frac{1}{\left(\frac{K_1^3}{K_2 \xi_0} \text{seg}^2 \right)} ;$$

sea

$$UT = \sqrt{\frac{K_1^3}{K_2 \xi_0}} \text{ seg} ,$$

entonces

$$G = 1 \frac{\text{UL}^3}{\text{UM} (\text{UT})^2} .$$

Se tomó $K_1 =$ distancia de la Tierra al Sol (R_T).

$K_2 =$ masa de la Tierra (M_T).

Con

$$R_T = 1.49597870 \times 10^{10} \text{ cm} . ,$$

$$M_T = 5.974241367 \times 10^{27} \text{ gr} . ,$$

se tiene para el tiempo

$$UT = \sqrt{\frac{R_T^3}{\xi_0 M_T}} = 2.898136 \times 10^6 \text{ seg} . ;$$

para la velocidad

$$UV = \frac{\text{UL}}{\text{UT}} = \sqrt{\frac{M_T \xi_0}{R_T}} = 5.1618657 \times 10^8 \text{ cm/seg} . ;$$

para la aceleración

$$UA = \frac{UV}{\text{UT}} = \frac{\xi_0 M_T}{R_T^2} = 1.7810987 \times 10^{-6} \text{ cm/seg}^2 ;$$

y para la energía

$$UE = (\text{UM})(\text{UA})(\text{UL}) = \frac{\xi_0 M_T^2}{R_T} = 1.5918281 \times 10^{35} \text{ ergs} .$$

CAPITULO 3 RESULTADOS

3.1) TRAYECTORIAS

Para este trabajo los datos iniciales de las posiciones, velocidades y masas están dados en la tabla 3.1 (Tomadas del libro The Astronomical Almanac 1988); las masas incluyen la de las atmósferas y satélites. Las masas (m) de los planetas son dadas en unidades de la masa del sol ($M_{\odot} = 1.9891 \times 10^{33}$ gr.). Se consideró arbitrariamente el día 9 de febrero de 1988 como punto de partida para los cálculos.

Tabla 3.1

Planeta	$1/m (M_{\odot}^{-1})$	X(UA)	Y(UA)	Z(UA)
Mercurio	6,023,600	-0.2106860	0.2139100	0.1361167
Venus	408,523.5	0.3134507	0.5826997	0.2398570
Tierra + Luna	328,900.55	-0.7514393	0.5863964	0.2542492
Marte	3,098,710	-1.0322644	-1.0665526	-0.4612491
Júpiter	1,047.350	4.0565910	2.6665650	1.0441680
Saturno	3,496.0	-0.8003520	-9.2631060	-3.7911240
Urano	22,960	-0.7805500	-17.628160	-7.70953
Neptuno	19,314	4.2723200	-27.657280	-11.42666
Plutón	130,000,000	-21.586950	-20.355540	0.15245

Planeta	V_x (UA/día)	V_y (UA/día)	V_z (UA/día)
Mercurio	-0.02721815	-0.01603306	-0.00574009
Venus	-0.01772437	0.00850462	0.00494772
Tierra + Luna	-0.01142690	-0.01208286	-0.00523898
Marte	0.01099043	-0.00725496	-0.00362503
Júpiter	-0.004451361	0.005955999	0.002661479
Saturno	0.005257673	-0.000340008	-0.000366525
Urano	0.003897789	-0.000288829	-0.000181720
Neptuno	0.003084973	0.000460285	0.000111695
Plutón	0.002251259	-0.002321290	-0.001402743

Con el propósito de conocer la precisión de un cálculo introducimos un control de error relativo CRE, usando la diferencia entre energía total inicial E y momentáneo E^* :

$$CRE = \frac{|E - E^*|}{|E|}$$

Los valores que alcanza CRE están entre 10^{-4} y 10^{-5} . Al comparar el error obtenido con las series de séptimo y octavo orden (ecuaciones (2.30) y (2.31) respectivamente) no se encontró diferencia sin embargo, el tiempo de computo se incrementó para el octavo orden, aunque no sensiblemente.

Calculamos las efemérides planetarias en coordenadas cartesianas en un intervalo de tiempo cercano a dos siglos (porque este es un intervalo suficientemente largo para determinar los periodos orbitales de los planetas, excepto el de Plutón y suficientemente corto para no prolongar excesivamente el cálculo numérico) en el sistema de referencia heliocentrico; la obtención de las efemérides fué con el fin de saber que tan bueno está nuestro método de integración, y para esto comparamos las posiciones de los planetas con los publicados por el JPL; los valores calculados para la posición, difieren de los publicados por Jet Propulsion Laboratory JPL (Planetary ...) en milésimas para los planeta interiores (Venus, Tierra y Marte) y en diezmilésimas para los planetas exteriores; en la tabla 3.2 se muestran las posiciones calculadas aquí y las obtenidas por el JPL, para el 13 de septiembre del año 2000.

Una vez que obtuvimos las posiciones para los planetas, graficamos las trayectorias descritas por ellos durante un tiempo cercano a 1.88 años para los planetas interiores (teniendo así vuelta completa para Marte) y dos siglos aproximadamente para los planetas exteriores; vease las figuras 3.1.1 y 3.1.2 correspondiendo a los planetas interiores y exteriores respectivamente. Las figuras muestran las proyecciones sobre el plano xy de las trayectorias elípticas. Los segmentos descritos por Neptuno y Plutón concuerdan en su actual posición.

Tabla 3.2

	XCUA	YCUA	ZCUA
Venus ♀			
JPL	-0.44447	-0.53139	-0.21093
calculado	-0.44411	-0.53163	-0.21107
diferencia	0.00036	0.00024	0.00014
Tierra ⊕			
JPL	0.99237	-0.15225	-0.06601
calculado	0.99241	-0.15198	-0.06589
diferencia	0.00004	0.00027	0.00012
Marte ♂			
JPL	-1.14123	1.07522	0.52402
calculado	-1.14142	1.07507	0.52396
diferencia	0.00019	0.00015	0.00006
Júpiter ♃			
JPL	2.55486	3.98913	1.64763
calculado	2.55472	3.98921	1.64767
diferencia	0.00014	0.00008	0.00004
Saturno ♄			
JPL	5.23355	6.99445	2.66382
calculado	5.23345	6.99447	2.66383
diferencia	0.00010	0.00002	0.00001
Urano ♅			
JPL	15.0980	-11.8625	-5.4091
calculado	15.0980	-11.8624	-5.4091
diferencia	0.0000	0.0001	0.0000
Neptuno ♆			
JPL	17.4648	-22.5459	-9.6629
calculado	17.4648	-22.5459	-9.6629
diferencia	0.0000	0.0000	0.0000
Plutón ♇			
JPL	-9.0991	-28.2578	-6.0750
calculado	-9.0991	-28.2578	-6.0750
diferencia	0.0000	0.0000	0.0000

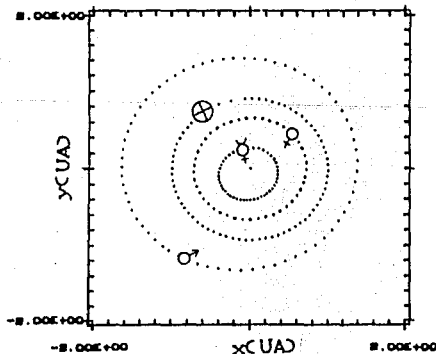


Fig. 3-1.1 Gráfica de x y y para las trayectorias de los planetas interiores durante un tiempo cercano a 1.00 años.

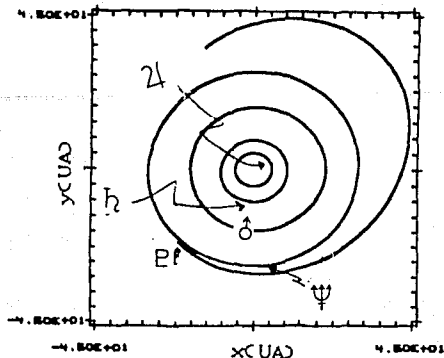


Fig 3.1.2 Órbita y v_x y v_y para las trayectorias de los planetas exteriores durante un tiempo cercano a 200 años

3.2) PERIODOS

Con el propósito de analizar el comportamiento periódico del sistema planetario y así poder verificar el método de integración que utilizamos, determinamos las energías potenciales relativas entre cada uno de los miembros del sistema solar como función del tiempo, y luego determinamos los periodos a través del método de transformada de Fourier y para un mejor refinamiento en el periodo empleamos el método de mínimos cuadrados.

El método de transformada de Fourier $F(\nu)$ de una función $f(t)$ está definida como

$$F(\nu) \equiv \int_{-\infty}^{+\infty} f(t) e^{i2\pi\nu t} dt;$$

esta definición nos dice que la transformada de Fourier es una transformación de $f(t)$ en $F(\nu)$, es decir, en una función que dependa de la frecuencia ν en vez de la función que dependa del tiempo t . En nuestro caso disponemos de un conjunto de datos que están igualmente espaciados en el tiempo (en 10 días); entonces, utilizamos la transformada de Fourier discreta $F_N(\nu)$, la cual está definida como

$$F_N(\nu) \equiv \sum_{k=1}^N f(t_k) e^{i2\pi\nu t_k}$$

Se examina la amplitud al cuadrado de la transformada $|F_N(\nu)|^2$ con el fin de poder determinar con facilidad las frecuencias características en los datos. Es muy importante utilizar la ventana espectral $\delta(\nu)$ que es obtenida como una función de ν y los tiempos de observación y que está definida como

$$\delta_N(\nu) = \sum_{k=1}^N e^{i2\pi\nu t_k}$$

y que nos permite determinar con mayor rapidéz y mejor precisión las frecuencias representativas, esto es, aquellas frecuencias cuyas amplitudes al cuadrado sean mayores. Para determinar la transformada de Fourier discreta utilizamos un programa en Fortran y esencialmente es el siguiente:

Los datos están almacenados en arreglos. F(I) contiene la energía potencial relativa entre dos miembros del sistema solar y T(I), el tiempo, ambos, de la i-ésima observación. Tenemos N observaciones. Es necesario escoger ν un intervalo de frecuencia DF, y ν el índice de frecuencia alta (KH) y baja (KL), así que la transformada se calcula para toda frecuencia de $\nu = KL*DF$ a $\nu = KH*DF$, donde KL Y KH son enteros (en nuestro caso KL=0 y KH=80). La parte real de $F_N(\nu)$ es almacenada en FR(K), donde $\nu = K*DF$, la parte imaginaria en FI(K), y la amplitud al cuadrado en FF(K) (nosotros la normalizamos al dividirla esta por N^2). La parte real de la ventana es D(K), la parte imaginaria es G(K) y la amplitud al cuadrado (ya normalizada) es GG(K). PI tiene el valor π . El programa básico es el siguiente:

DO 1 K= KL,KH

```

FR(K) = 0
FI(K) = 0
DX(K) = 0
GX(K) = 0
A1 = 2.*PI*K*DF
DO 2 I = 1,N
A = A1*TC(I)
C = COS(A)
S = SIN(A)
FR(K) = FR(K) + F(I)*C
FI(K) = FI(K) + F(I)*S
DX(K) = DX(K) + C
GX(K) = GX(K) + S
2 CONTINUE
FF(K) = (FR(K)*FR(K) + FI(K)*FI(K))/N*N
GG(K) = (DX(K)*DX(K) + GX(K)*GX(K))/N*N
1 CONTINUE.

```

Con estos métodos fué posible reproducir los periodos orbital y sinódico de los planetas que damos en la tabla 3.3. En la primera columna indica las parejas de cuerpos, donde el cero indica el sol y del uno al ocho sucesivamente los planetas desde Mercurio a Neptuno; en la segunda columna se dan los coeficientes de correlación múltiple R^2 que nos muestran el comportamiento estadístico de los valores de una de las parejas: a medida que R^2 tiende a uno el periodo es más confiable; en la tercera y cuarta columna están los periodos obtenidos por medio del análisis de las energías potenciales relativas y los periodos que se obtuvieron por medio de las ecuaciones (1.25) y (1.26) respectivamente dados en años.

Tabla 3.3

1	2	3	4	1	2	3	4
cuerpos	R ²	T _r (años)	T _o (años)	cuerpos	R ²	T _r (años)	T _o (años)
01	0.9580	0.24085	0.24085	26	0.6590	0.62821	0.62833
02	0.9997	0.61519	0.61521	27	0.3877	0.61974	0.61975
03	0.9997	1.00004	1.00004	28	0.8945	0.61751	0.61752
04	0.9913	1.88095	1.88089	34	0.6535	2.13549	2.13540
05	0.9975	11.86333	11.86223	35	0.9119	1.09209	1.09211
06	0.9966	29.44348	29.45772	36	0.7914	1.03519	1.03518
07	0.9976	83.93345	84.01331	37	0.5497	1.01211	1.01209
08	0.9994	164.83499	164.79345	38	0.9463	1.00615	1.00615
12	0.7101	0.39580	0.39580	45	0.9348	2.23503	2.23533
13	0.8292	0.31726	0.31726	46	0.8220	2.00933	2.00918
14	0.7066	0.27622	0.27622	47	0.6384	1.92411	1.92396
15	0.7284	0.24584	0.24584	48	0.9645	1.90265	1.91630
16	0.4611	0.24283	0.24284	56	0.8064	19.82556	19.85932
17	0.1441	0.24154	0.24120	57	0.8911	13.82643	13.81248
18	0.8176	0.24123	0.24120	58	0.9810	12.78530	12.78233
23	0.6602	1.59870	1.59870	67	0.8499	45.48778	45.36361
24	0.7919	0.91423	0.91425	68	0.9375	35.83651	35.86955
25	0.8610	0.64918	0.64886				

Utilizando las mismas técnicas, obtuvimos otro periodo llamado de "eventos" (es el intervalo de tiempo que transcurre entre dos configuraciones similares de dos planetas respecto a un observador externo fijo) dado en la tabla 3.4, en la última columna los datos fueron de Flores(1987).

Tabla 3.4

cuerpos	R ²	T _r (años)	T _o (años)
13	0.8321	0.96965	0.95178
14	0.7935	1.89344	-----
15	0.7543	14.44822	-----
16	0.9729	29.75464	-----
17	-----	84.30027	-----
23	0.9997	7.98612	7.99350
24	0.9998	32.65539	-----
25	0.4510	14.85975	-----
26	0.9992	29.22965	-----
27	-----	83.67055	-----
34	0.9980	15.78182	14.94778
35	0.6061	11.86192	12.01321
36	0.9992	29.47570	-----
37	-----	84.02648	-----
45	0.9461	11.86680	-----
46	0.9895	29.28245	-----
47	-----	84.65620	-----
56	-----	59.61800	-----
57	-----	82.84918	-----

En las siguientes figuras (fig. 3.2.1 a 3.2.37) se muestran las energías potenciales relativas (en unidades de 1.592×10^{95} erg.) entre pares de cuerpos como función del tiempo (en días), la separación entre los picos nos da el periodo orbital (parejas 01, 02, ..., 09) y sinódico (parejas 12, 13, ..., 68) y la separación entre los mínimos de los mínimos, nos da lo que le llamamos periodo de "eventos". En las figuras 3.2.11-3.2.12, 3.2.17-3.2.19, 3.2.23-3.2.25, 3.2.28-3.2.29, 3.2.31, y 3.2.33-3.2.34 observamos que para un número determinado de periodos sinódicos, tenemos un periodo de "eventos"; por ejemplo Mercurio para tres periodos sinódicos nos da un periodo de "eventos" de 0.97 años aproximadamente, Venus para 5 periodos sinódicos da uno de "eventos" de 7.99 años aproximadamente, Marte para 7 periodos sinódicos le corresponde uno de "eventos", etc..

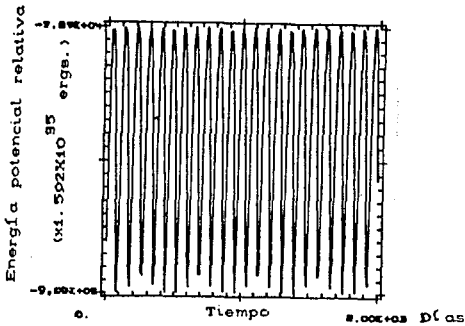


Fig. 3.2.1 Pareja 01

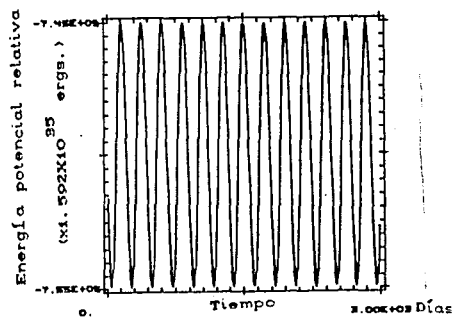


Fig. 3.2.2 Pareja 02

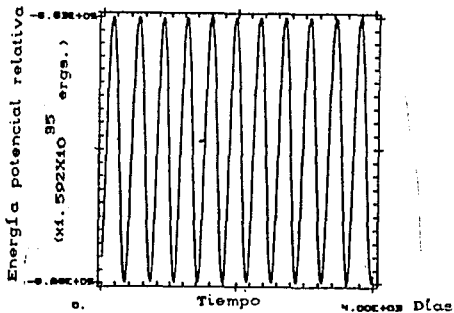


Fig. 3.2.3 Pareja 03

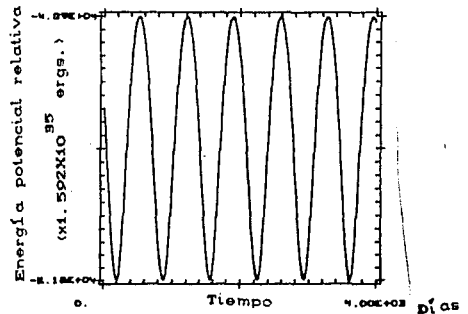


Fig. 3.2.4 Pareja 04

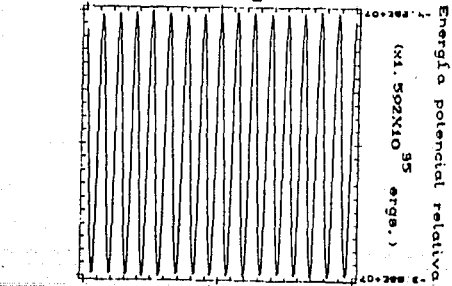


Fig. 3.2.5 Pareja 05

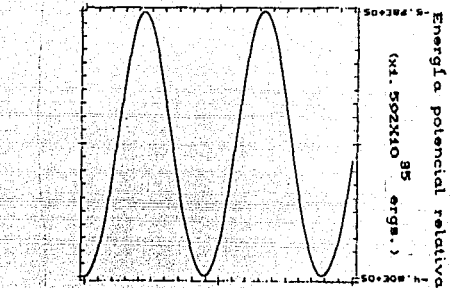


Fig. 3.2.7 Pareja 07

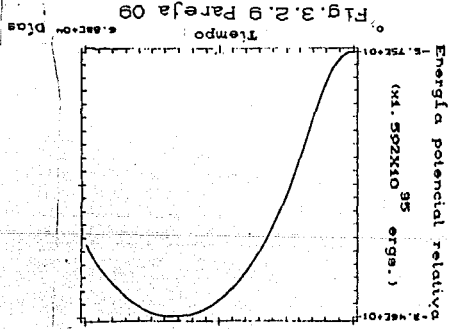


Fig. 3.2.9 Pareja 09

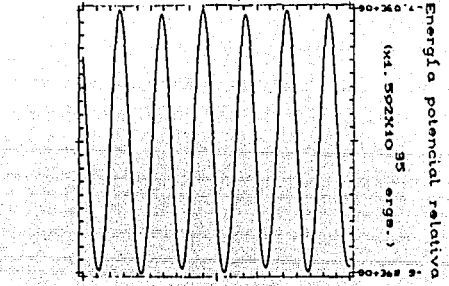


Fig. 3.2.6 Pareja 06

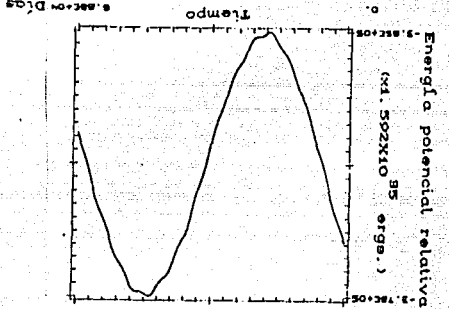


Fig. 3.2.8 Pareja 08

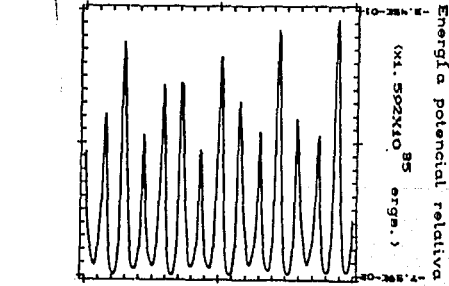


Fig. 3.2.10 Pareja 12

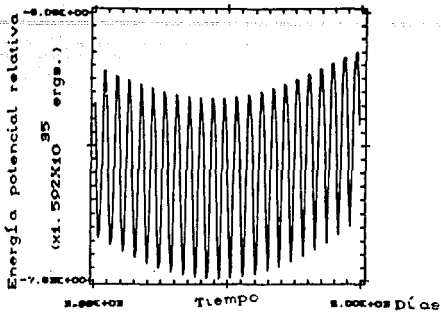


Fig. 3.2.11 Pareja 13

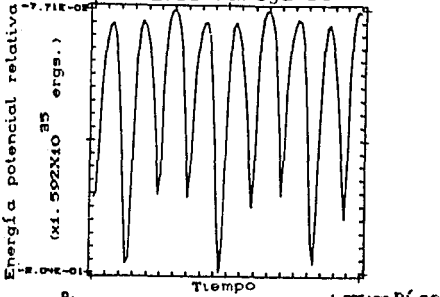


Fig. 3.2.13 Pareja 15

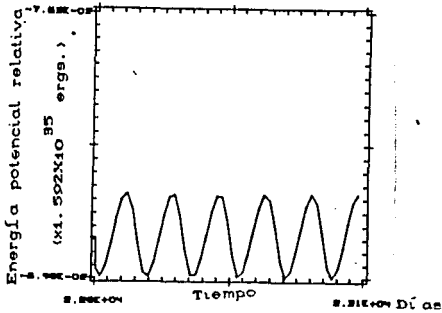


Fig. 3.2.15 Pareja 17

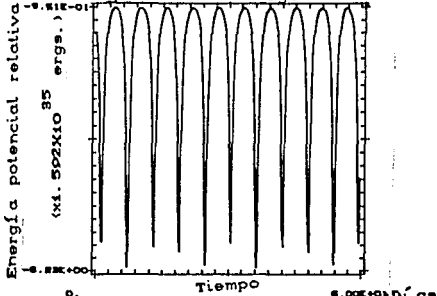


Fig. 3.2.17 Pareja 23

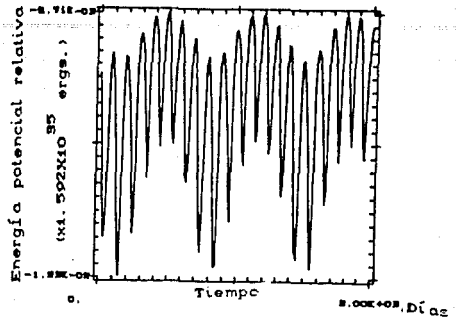


Fig. 3.2.12 Pareja 14

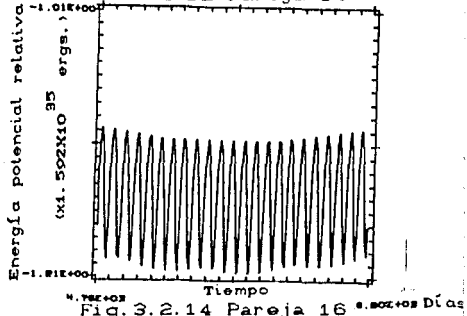


Fig. 3.2.14 Pareja 16

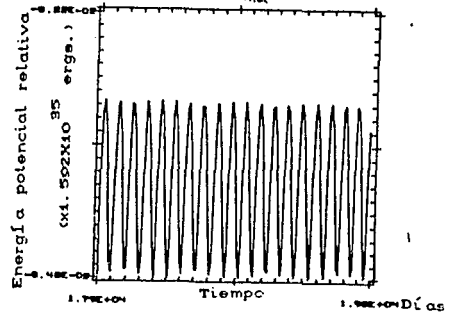


Fig. 3.2.16 Pareja 18

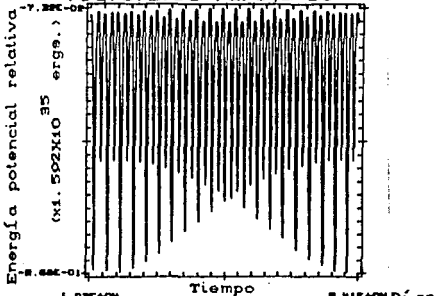


Fig. 3.2.18 Pareja 24

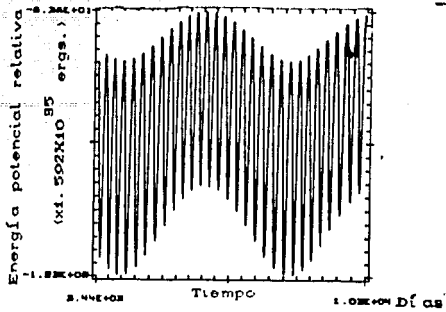


Fig. 3.2.19 Pareja 25

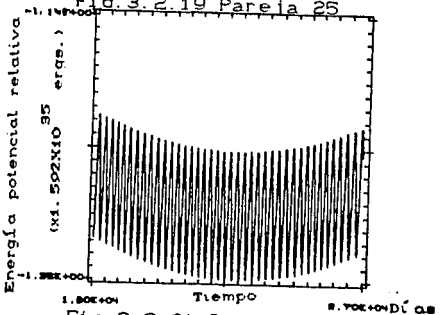


Fig. 3.2.21 Pareja 27

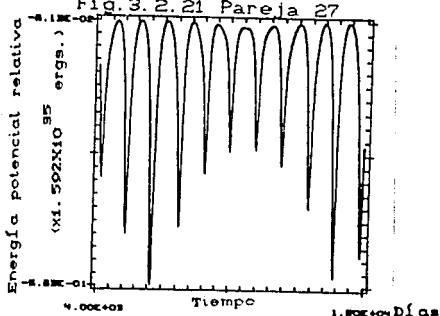


Fig. 3.2.20 Pareja 26

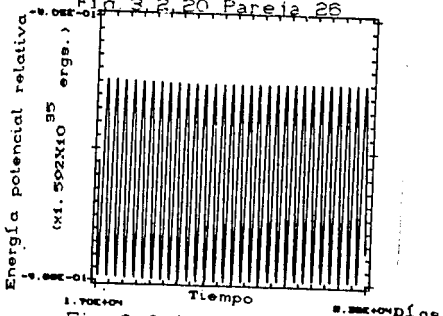


Fig. 3.2.22 Pareja 28

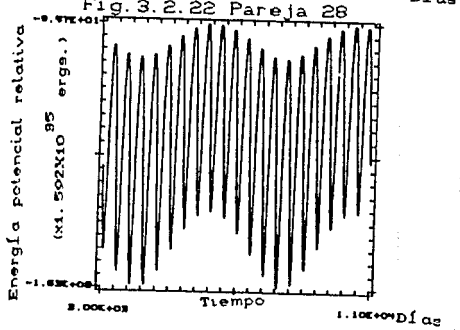


Fig. 3.2.23 Pareja 34

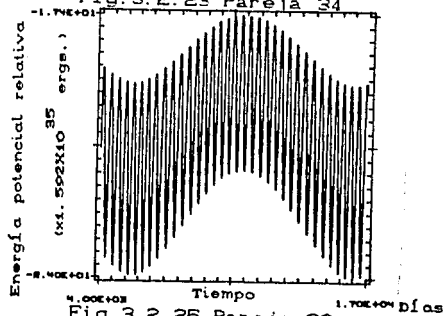


Fig. 3.2.25 Pareja 36

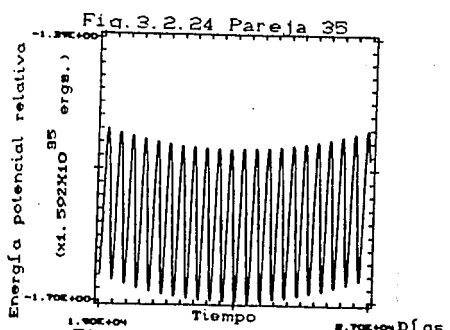


Fig. 3.2.26 Pareja 37

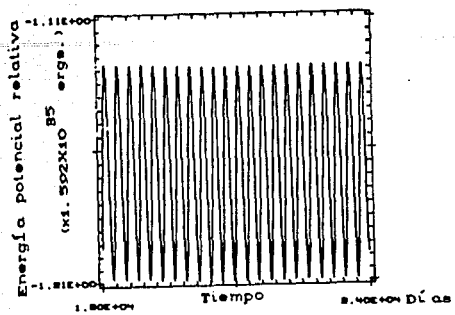


Fig. 3.2.27 Pareja 36

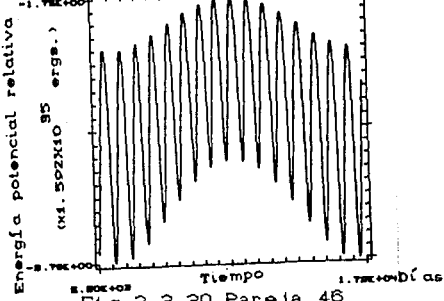


Fig. 3.2.29 Pareja 46

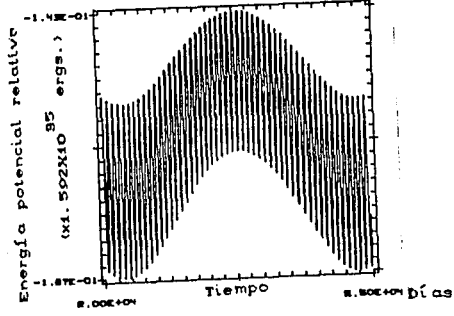


Fig. 3.2.31 Pareja 47

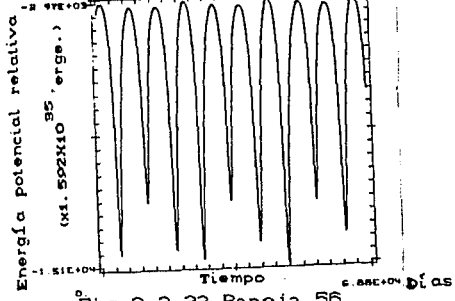


Fig. 3.2.33 Pareja 56

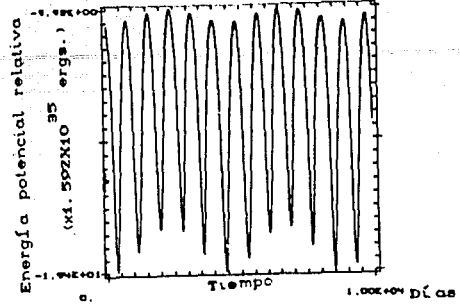


Fig. 3.2.28 Pareja 45

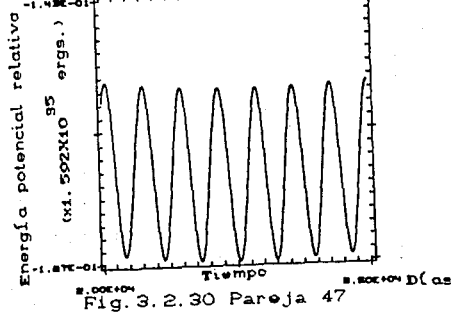


Fig. 3.2.30 Pareja 47

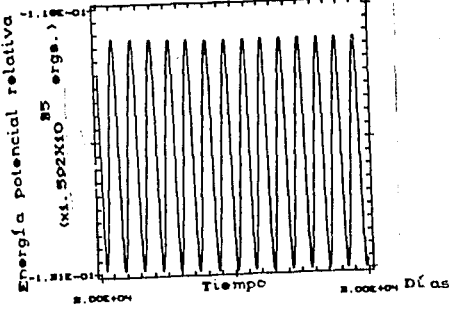


Fig. 3.2.32 Pareja 48

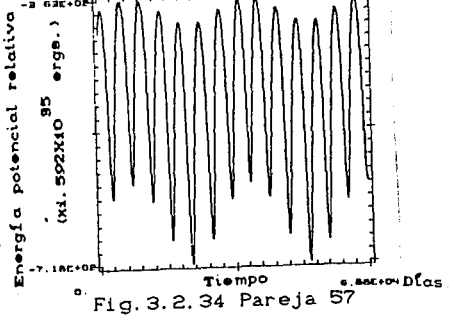


Fig. 3.2.34 Pareja 57

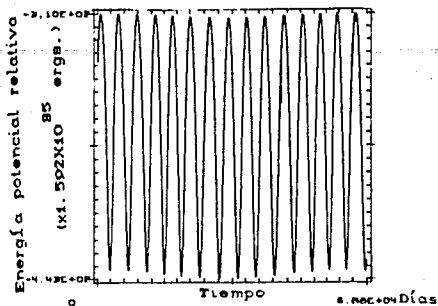


Fig. 3.2.35 Pareja 58

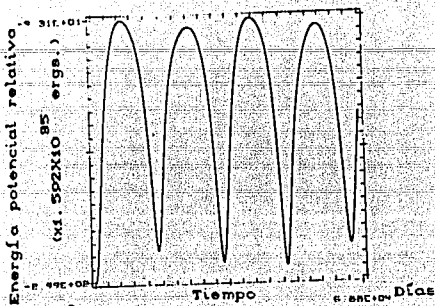


Fig. 3.2.36 Pareja 57

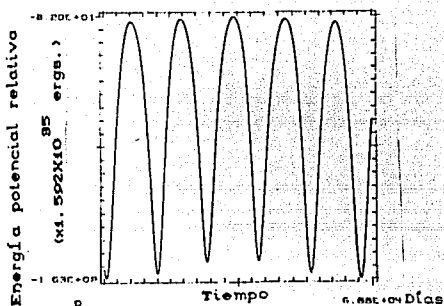


Fig. 3.2.37 Pareja 68

3.3) ENERGIAS

En las figuras 3.3.1 Y 3.3.2 se muestran las gráficas de energía potencial y cinética respectivamente, de los planetas y el sol para un tiempo de 6000 días (16.4 años aproximadamente), en ella observamos su variación periódica cuyo máximo a mínimo (para este intervalo de tiempo) se muestran en la tabla 3.5. Podemos notar que la variación de la energía del sol puede relacionarse con Júpiter y Saturno.

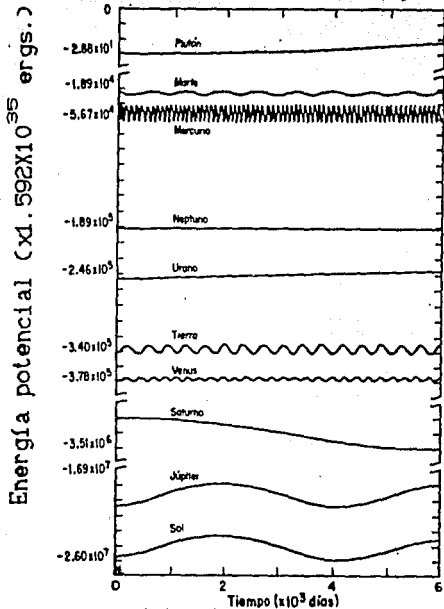


Fig. 3.1 Gráfica de energía potencial vs tiempo para los planetas y el Sol durante 6000 días

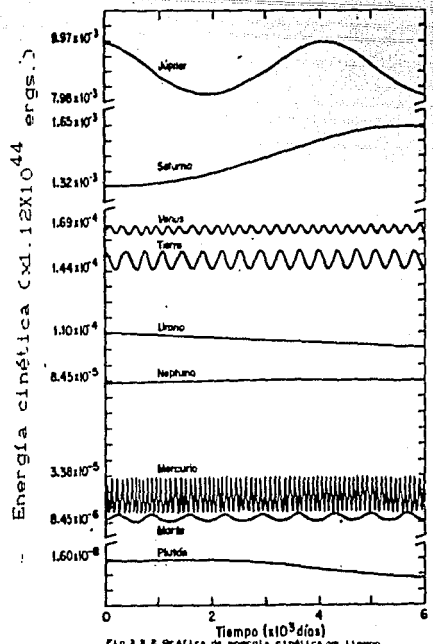


Fig. 3.2 Gráfica de energía cinética vs tiempo de los planetas durante 6000 días

tabla 3.5

cuerpo	Energía potencial (10^{40} ergs.)			Energía cinética (10^{40} ergs.)		
	mínima	máxima	ΔE	mínima	máxima	ΔE
Plutón	-0.0005	-0.0003	0.0002	0.0001	0.0003	0.0002
Marte	-0.4125	-0.3419	0.0706	0.1549	0.2255	0.0706
Mercurio	-0.9528	-0.6277	0.3251	0.2493	0.5743	0.3250
Neptuno	-3.0686	-3.0157	0.0529	1.4880	1.5504	0.0624
Urano	-4.2100	-3.8287	0.3813	1.8225	2.2122	0.3897
Tierra	-5.4577	-5.2780	0.1797	2.5943	2.7739	0.1796
Venus	-6.0135	-5.9321	0.0814	2.9454	3.0267	0.0813
Saturno	-56.0138	-50.1442	5.8696	23.7324	29.5622	5.8298
Júpiter	-340.5517	-308.8028	31.7489	146.9414	178.7651	31.8237
Sol	-415.6223	-378.1381	37.4842	0	0	0

En la misma tabla, podemos ver que los planetas y el sol se encuentran en orden decreciente para la energía potencial de cada uno de ellos y en orden creciente para la energía cinética de cada uno de ellos, se observa que ambas energías son del mismo orden. Se observa que la distribución de los planeta en términos de la energía no corresponde directamente a su distribución espacial, ya que las masas y velocidades influyen en su valor; el orden en que se encuentran los planetas respecto a la energía potencial de cada uno de ellos es el mismo para la energía cinética. Calculamos la energía potencial total del sistema (fig.3.3.3) y la comparamos con la energía cinética total del sistema (fig.3.3.4), encontramos que el teorema Virial se satisface, i.e. $1/2$ energía potencial total ($\approx -198.469 \times 10^{40}$ ergs.) = menos la energía cinética del sistema ($\approx 198.974 \times 10^{40}$ ergs.). Otra forma de verificar el teorema es graficar un medio de la energía potencial total del sistema contra la energía cinética total del sistema (ver fig.3.3.5) y observamos que la relación es una recta cuya pendiente es menos uno, lo que nos implica que se cumple el teorema virial. En la figura 3.3.6 se muestra el comportamiento de la energía total del sistema solar con respecto al tiempo, durante un tiempo cercano a dos siglos.

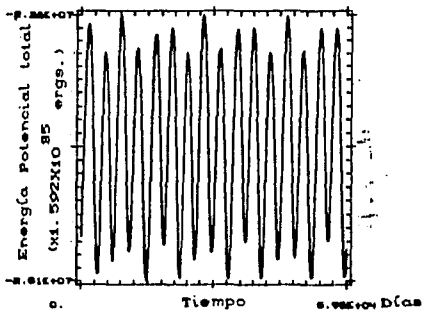


Fig 3.3 Gráfico de energía potencial total del sistema solar vs tiempo durante un tiempo cercano a dos siglos

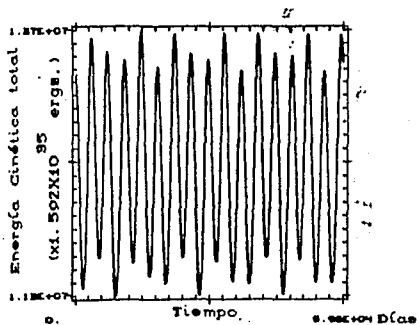


Fig 3.4 Gráfico de energía cinética total del sistema solar vs tiempo durante un tiempo cercano a dos siglos

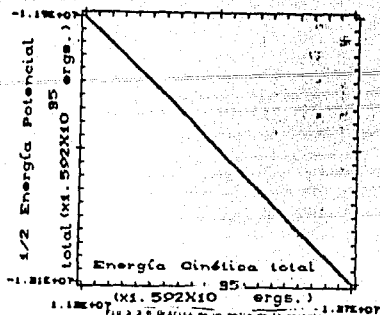


Fig. 3.3 Gráfica de un modo de la energía potencial total del sistema solar vs la energía cinética total del mismo durante un tiempo cercano a dos siglos.

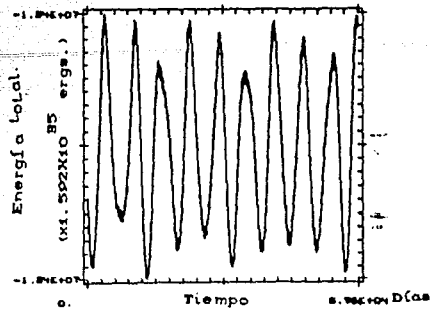


Fig. 3.4 Gráfica de la energía total del sistema solar vs tiempo durante un tiempo cercano a dos siglos.

3.4) POTENCIAL

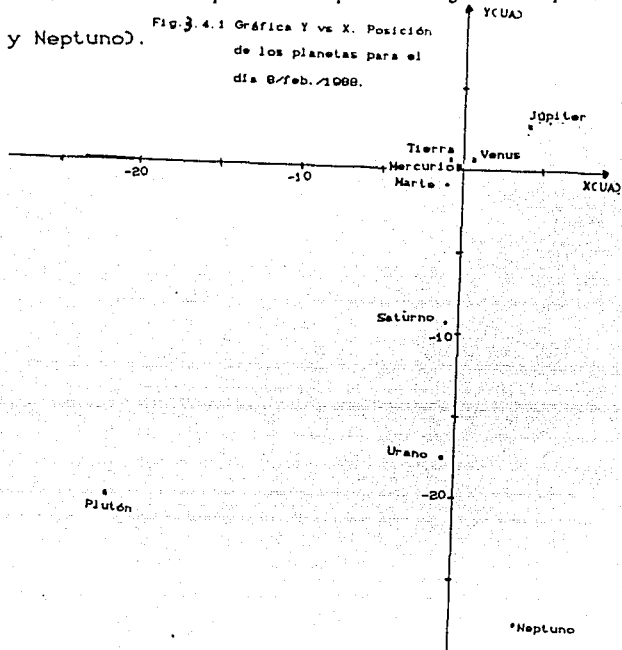
Con el propósito de estudiar el comportamiento radial del potencial heliocéntrico en el sistema planetario, variamos la posición de un punto prueba, a lo largo de una línea radial al sol que pasa cerca de algún planeta (la distancia inicial es de 50 UA del sol).

Las posiciones elegidas corresponden a la misma fecha que tomamos como punto de partida para el cálculo numérico (9 de febrero de 1988); graficamos las posiciones para esta fecha en el plano xy (fig.3.4.1), transformamos las posiciones en coordenadas esféricas (ver tabla 3.6).

Tabla 3.6

Planeta	coordenadas cartesianas			coordenadas esféricas		
	x(UA)	y(UA)	z(UA)	r(UA)	θ(grado)	φ(grado)
Mercurio	-0.21069	0.21391	0.13612	0.32966	65.6126	134.5650
venus	0.35180	0.58270	0.23986	0.72168	70.5881	58.8793
Tierra	-0.75144	0.58640	0.25425	0.98649	75.0645	142.0328
Marte	-1.03226	-1.06655	-0.46125	1.55430	107.2629	225.9360
Júpiter	4.05659	2.66656	1.04417	4.96556	77.8611	33.3186
Saturno	-0.80035	-9.26311	-3.79112	10.04083	112.1833	265.0618
Urano	-0.78055	-17.62816	-7.70953	19.25612	113.6012	267.4647
Neptuno	4.27232	-27.65728	-11.42666	30.22824	112.2106	278.7813
Plutón	-21.58695	-20.35554	0.15245	29.67100	89.7056	223.3183

En la figura 3.4.1 se observa que si hacemos pasar radialmente la partícula cerca de Saturno, en esta fecha particular, esta pasará también cerca de Neptuno, Urano y Marte; donde el símbolo x indica que está por encima del plano (Mercurio, Venus, Tierra, Júpiter y Plutón) y el círculo lleno nos indica que esta por debajo del plano (Marte, Saturno, Urano y Neptuno).



Para determinar la posición del punto prueba a lo largo de la línea radial al Sol, hicimos lo siguiente:

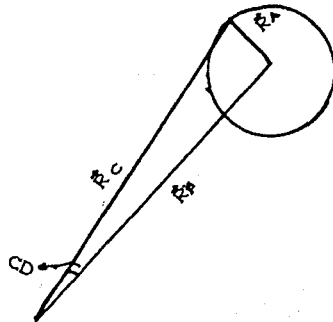


Fig. 3.4.2

Observando la figura 3.4.2 tenemos que

$$R_P = \left(x_P^2 + y_P^2 + z_P^2 \right)^{1/2}$$

$$R_C = \left(R_P^2 + R_A^2 \right)^{1/2}$$

sabemos

$$\left. \begin{aligned} x_P &= R_P \text{sen}(\theta_P) \text{cos}(\phi_P) \\ y_P &= R_P \text{sen}(\theta_P) \text{sen}(\phi_P) \\ z &= R_P \text{cos}(\theta_P) \end{aligned} \right\}$$

ver figura 3.4.3

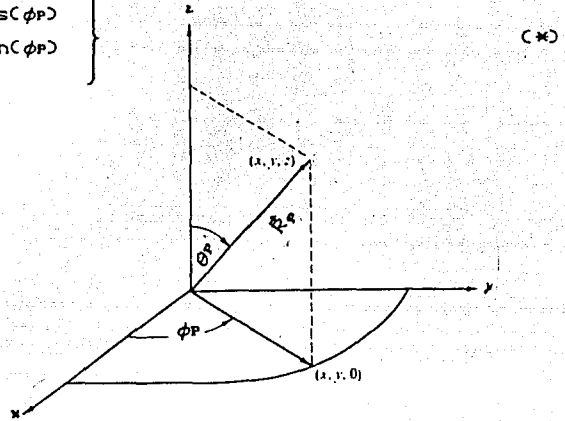


Fig 3.4.3 · Coordenadas polares esféricas

queremos conocer el valor de θ_P y ϕ_P a través de (*), tenemos

$$\theta_P = \cos^{-1} \left[\frac{z_P}{R_P} \right]$$

y

$$\phi_P = \tan^{-1} \left[\frac{y_P}{x_P} \right]$$

para calcular el ángulo CD (ver figura 3.4.4)

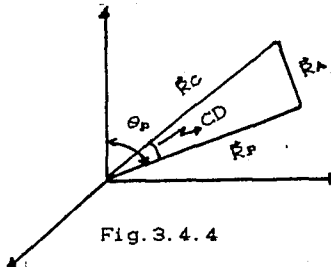


Fig.3.4.4

$$\tan(CD) = \frac{R_A}{R_P}$$

despejando CD, tenemos

$$CD = \tan^{-1} \left(\frac{R_A}{R_P} \right)$$

observando la figura 3.4.4, tenemos

$$\theta_c = \theta_p - CD$$

si suponemos

$$\phi_c = \phi_p$$

entonces podemos determinar la posición del punto prueba en el sistema de referencia heliocéntrico.

Como queremos estudiar el comportamiento radial del potencial heliocéntrico en el sistema solar, las coordenadas polares esféricas son las que mejor se ajustan a nuestra necesidad; hacemos que una partícula prueba que se mueve radialmente respecto al Sol pase cerca del planeta de modo que penetre su esfera de acción (ver Apéndice B). Para hacer esto, consideramos $\phi_c = \phi_p$ y que el valor de θ_c esté cerca del valor de θ_p . Calculamos el potencial heliocéntrico en el sistema solar como función de la distancia para el día 9 de febrero de 1988.

En las figuras 3.4.5 a 3.4.8 el punto prueba tiene como coordenadas $\theta_c = 117^\circ$, $\phi_c = 265^\circ$ y R_c de 50 AU a 0.1 AU.

En la figura 3.4.5 mostramos el potencial total del sistema solar (respecto al sistema heliocéntrico) y en la figura 3.4.6 el potencial heliocéntrico de cada uno de sus miembros (Sol y planeta), vemos claramente que el potencial dominante es el del Sol y los demás potenciales están contenidos en la franja muy delgada que se muestra. Ahora describiremos algunos detalles de la franja delgada, en la figura 3.4.7 observamos varios mínimos que representan pozos de potencial, cuya ubicación corresponde a algún planeta, el más profundo corresponde a Saturno, el segundo a Urano y el tercero a Neptuno; una

ampliación de esta figura es la 3.4.8 y en ella se puede observar que existe otro pozo de potencial y este corresponde a Marte. En la figura 3.4.9 se observa el potencial de Júpiter cuando el punto prueba tiene como coordenadas $\theta_c = 80^\circ$, $\phi_c = 33^\circ$ y R_c y se ve un pozo de potencial, lo que indica que la contribución de los demás planeta es despreciable. La figura 3.4.10 se muestra el potencial cuando el punto prueba tiene coordenadas $\theta_c = 90^\circ$, $\phi_c = 223^\circ$ y R_c (estas coordenadas se eligieron de modo que la partícula prueba penetre la esfera de acción de Plutón) y en ella se observan dos pozos de potencial de los cuales el más profundo corresponde a Saturno y el segundo a Urano; una ampliación de esta figura esta es la 3.4.11 y se ve claramente de que existe otro pozo de potencial que corresponde a Plutón.

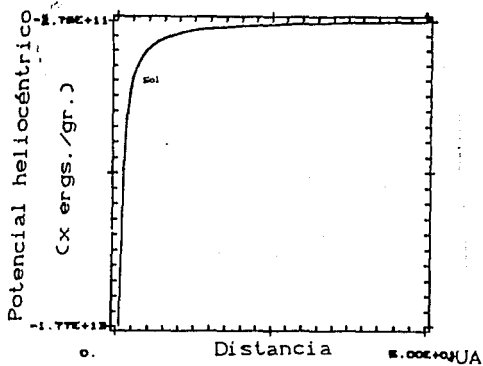


Fig. 3.4.5

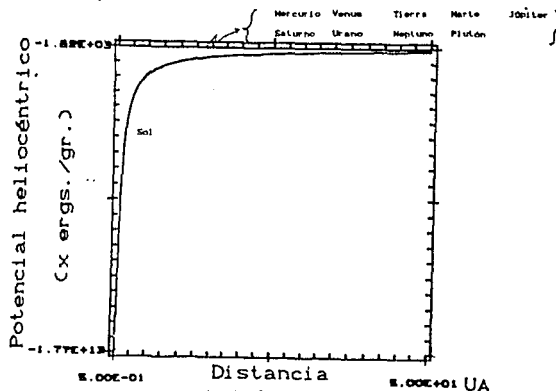


Fig. 3.4.6

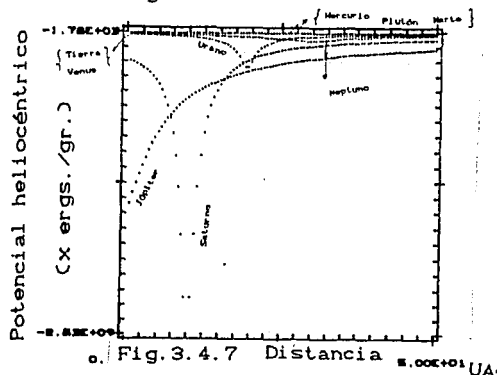


Fig. 3.4.7

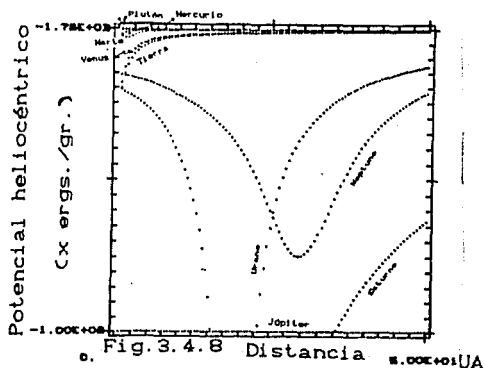


Fig. 3.4.8

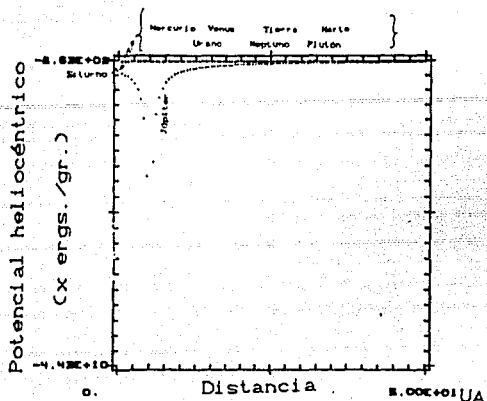


Fig. 3.4.9

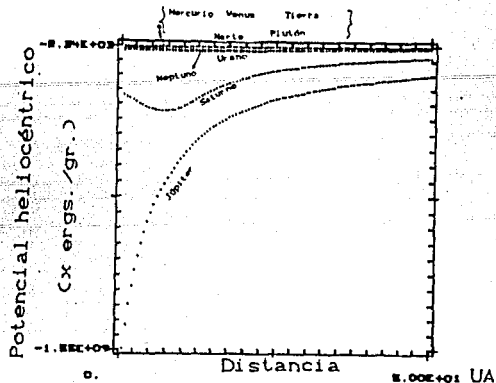


Fig. 3.4.10

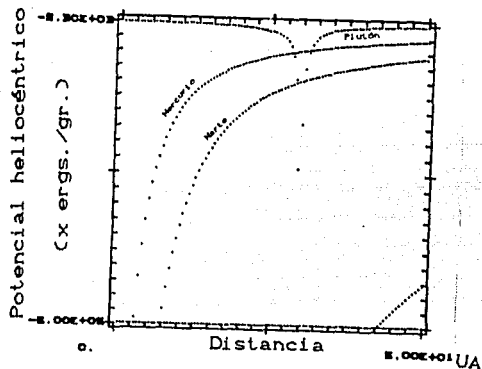


Fig. 3.4.11

3.5) RADIO DE ACCION

Dada la posición de algún objeto en el sistema planetario es interesante conocer la interacción que posee con cada uno de sus miembros es decir, qué tan importante es la acción de uno de los miembros del sistema solar respecto de otro.

Deséamos conocer el radio para el cual la acción del planeta es comparable a la acción del sol (radio de acción), la expresión (Apendice B) que nos permite evaluarlo es la siguiente:

$$R_A = \left(\frac{m}{M}\right)^{1/5} r_p$$

donde R_A es el radio de acción, r_p es el radio orbital del planeta, m y M son las masas del planeta y el Sol respectivamente.

Para tener idea del tamaño de cada uno de los radios de acción, obtendremos la razón del radio orbital de un satélite respecto del radio de acción del planeta correspondiente, en la tabla 3.7 se muestran sus valores. Como se puede observar los satélites están contenidos en la esfera de acción del planeta al que se asocian.

Tabla 3.7

Satélites	Radio orbital 10^3 km	Razón de radios
Tierra		
Luna	384.4	0.4156
Marte		
Fobos	9.4	0.0624
Deimos	23.5	0.0406
Jupiter		
1979 J3	126	0.0026
Io	422	0.0088
Europa	671	0.0140
Ganímides	1071	0.0223
Calixto	1884	0.0392
Sínope	23670	0.4921
Saturno		
S 15	136	0.0025
Dione	377	0.0069
Rea	527	0.0096
Titán	1222	0.0224
Japeto	3562	0.0652
Febe	12960	0.2374
Urano		
Miranda	130	0.0025
Ariel	191	0.0037
Umbriel	266	0.0051
Titania	436	0.0084
Oberón	583	0.0112
Neptuno		
Tritón	356	0.0041
Nereida	5567	0.0641
Pluton		
Caronte	19	0.0059

3.6) ENERGIA POTENCIAL MAS ENERGIA CINETICA AZIMUTAL

En la figura 3.6.1 mostramos la gráfica de la energía potencial más energía cinética en la dirección azimutal contra distancia heliocéntrica de cada planeta, en ella observamos la distribución espacial de esta energía que indican los límites del pozo potencial correspondiente a cada uno, de ellos. La suma de la energía potencial y de la energía cinética azimutal se le conoce como energía potencial efectiva V_{ef} . En la figura 3.6.2 se muestra la naturaleza de este pozo de potencial como resultado de la suma de la energía potencial del Sol más la energía cinética azimutal de un planeta, también se muestra los puntos de retornos (r_1 y r_2). Del intervalo integrado, hemos obtenido el valor mínimo y máximo de la distancia orbital de cada planeta (perihelio y afelio) tabla 3.8.

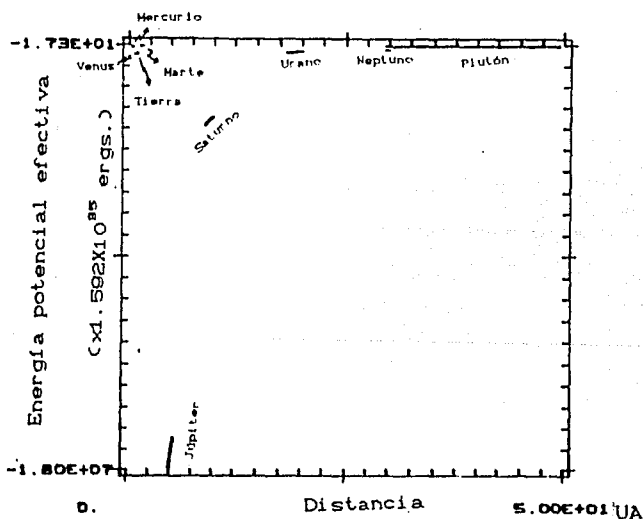


Fig. 3.6.1 Energía potencial efectiva para cada planeta vs. Distancia

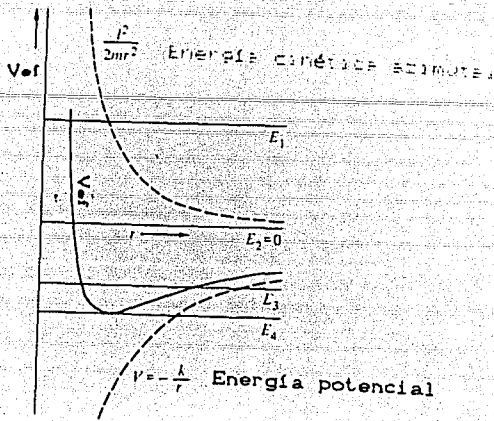


Fig.3.6.2 Energía potencial efectiva para una fuerza de atracción que varía con el inverso de cuadrado de la distancia.

RADIO ORBITAL DE LOS PLANETAS

Planeta	mínimo (UA)	máximo (UA)
Mercurio	0.30768	0.46358
Venus	0.71842	0.72824
Tierra	0.98340	1.01667
Marte	1.38120	1.66603
Júpiter	4.94839	5.45650
Saturno	9.01488	10.0656
Urano	18.7238	20.0988
Neptuno	29.8236	30.2282
Plutón	-----	49.3203

Para Plutón no fué posible determinar sus distancias mínimas respecto al Sol, dado que los datos de posición que obtuvimos son para un tiempo menor al periodo orbital de él.

CONCLUSIONES

En el estudio de la dinámica del sistema planetario, las posiciones reales de los planetas representan una parte muy importante para el estudio de su movimiento en grandes intervalos de tiempo (millones de años), aunque en la actualidad se aplican diferentes técnicas de integración numérica a las ecuaciones de movimiento, no puede asegurarse que las posiciones y velocidades calculadas después de algunos millones de años correspondan a la posición real debido principalmente a los errores de redondeo y truncamiento.

Mientras que los métodos de integración del tipo Runge-Kutta y Gauss-Jackson pretenden ser técnicas de aplicación general, pues contienen implícitamente desarrollos de los polinomios de Taylor, consideramos que para los propósitos actuales la integración numérica por expansión en serie de Taylor para resolver las ecuaciones de movimiento del problema de N cuerpos, nos da una evaluación más directa. Por ejemplo el método de Gauss-Jackson por si mismo no es eficiente a menos que tenga de entrada otro método de integración numérica, entonces, dependiendo del método de integración será más ó menos eficiente para resolver este problema. Con respecto a los métodos tipo Runge-Kutta el elegir el orden adecuada implica la eficiencia del método en resolver el problema; caso contrario del que ocurre en el método serie de Taylor, ya que en el consideras hasta que orden de la serie quiere uno llegar para tener mejor precisión.

Los cálculos obtenidos en un intervalo de tiempo cercano a dos siglos en el sistema heliocéntrico, dieron aproximaciones de milésimas en las posiciones de Venus, Tierra y Marte, y diezmilésimas para los planetas exteriores.

Los cálculos obtenidos con las expansiones de orden séptimo y octavo no cambian significativamente, pues la diferencia entre ellas aparece en la décima primera cifra después de 10 años de integración.

Es importante notar que la acción del Sol domina el sistema planetario aunque en la vecindad de algún planeta, es decir, en el interior de su esfera de influencia, la acción es mayor o igual a la del Sol.

APENDICE A

SISTEMA DE COORDENADAS

A.1) SISTEMA DE COORDENADAS CURVILINEAS

Para describir el movimiento de un conjunto de partículas que interactúan, el observador debe definir un sistema de referencia. En general podemos definir un sistema de coordenadas curvilíneas, en función de las cuales se puede analizar el movimiento de una partícula. Las coordenadas más utilizadas son las coordenadas cartesianas, polares y esféricas, también se utilizaban las coordenadas cilíndricas elípticas.

Consideremos las coordenadas rectangulares (x,y,z) y las curvilíneas (q_1, q_2, q_3) . Las ecuaciones de transformación entre ellas son de la forma siguiente.

De curvilíneas a cartesianas:

$$\left. \begin{aligned} x &= x(q_1, q_2, q_3) \\ y &= y(q_1, q_2, q_3) \\ z &= z(q_1, q_2, q_3) \end{aligned} \right\} \quad (\text{A.1})$$

De cartesianas a curvilíneas:

$$\left. \begin{aligned} q_1 &= q_1(x, y, z) \\ q_2 &= q_2(x, y, z) \\ q_3 &= q_3(x, y, z) \end{aligned} \right\} \quad (\text{A.2})$$

Dado un punto P de coordenadas rectangulares (x,y,z) se le asocia, según la transformación (A.2), un conjunto único de números (q_1, q_2, q_3) que llamaremos coordenadas curvilíneas de P.

En las coordenadas cartesianas tratamos con tres familias de planos mutuamente perpendiculares:

$$\left. \begin{aligned} x &= \text{constante} \\ y &= \text{constante} \\ z &= \text{constante} \end{aligned} \right\}$$

(A.3)

Imaginemos que sobreponemos en este sistema otras tres familias de superficies coordenadas definidas como:

$$\left. \begin{aligned} q_1 &= \text{constante} \\ q_2 &= \text{constante} \\ q_3 &= \text{constante} \end{aligned} \right\}$$

(A.4)

La intersección de cada par de estas superficies definen las líneas coordenadas correspondientes (fig.1.1). Si las superficies coordenadas se cortan en ángulos rectos, el sistema curvilíneo es ortogonal. Las líneas coordenadas q_1, q_2 y q_3 de un sistema curvilíneo son análogas a los ejes coordenados x, y, z de un sistema rectangular.

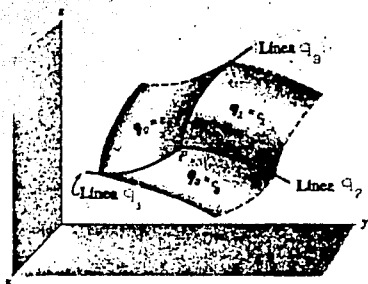


Fig.1.1

En el caso más general, en cada punto P de un sistema de coordenadas curvilíneas se pueden definir dos sistemas de vectores unitarios (fig. 1.2): el primer conjunto es el de los vectores unitarios tangentes $\hat{e}_{q_1}, \hat{e}_{q_2}, \hat{e}_{q_3}$ a las superficies q_1, q_2, q_3 y el segundo es el conjunto de vectores normales unitarios $\hat{e}_{q_1}, \hat{e}_{q_2}, \hat{e}_{q_3}$ a estas mismas superficies. Ambas ternas sólo coincidirán en el caso de que el sistema de coordenadas curvilíneas sea ortogonal y derecho, y cada terna juega el mismo papel que los vectores unitarios $\hat{i}, \hat{j}, \hat{k}$ del

sistema de coordenadas rectangulares, con la única diferencia de que aquellos pueden cambiar de dirección y sentido de un punto a otro.

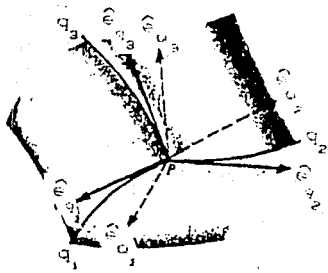


fig.1.2

De acuerdo a lo anterior tenemos

$$\hat{e}_{q_i} \cdot \hat{e}_{q_j} = 0, \quad \forall i \neq j \quad i, j = 1, 2, 3. \quad (\text{sistema ortogonal}) \quad (\text{A.5})$$

$$\left[\hat{e}_{q_1}, \hat{e}_{q_2}, \hat{e}_{q_3} \right] = 1 \quad (\text{sistema derecho}) \quad (\text{A.6})$$

entonces

$$\hat{e}_{q_i} = \hat{e}_{\alpha_i} \quad \forall i = 1, 2, 3. \quad (\text{A.7})$$

Con:

$$\hat{e}_{q_i} = \frac{1}{h_{q_i}} \frac{\partial \vec{r}}{\partial q_i} \quad (\text{A.8})$$

$$h_{q_i} = \left| \frac{\partial \vec{r}}{\partial q_i} \right| \quad (\text{A.9})$$

$$\hat{e}_{q_i} = \frac{1}{H_{q_i}} \vec{\nabla} q_i \quad (\text{A.10})$$

$$H_{q_i} = \left| \vec{\nabla} q_i \right| \quad (\text{A.11})$$

donde \vec{r} es el vector de posición y las h_{q_1} , h_{q_2} y h_{q_3} se les conoce

como factores de escala ó coeficientes métricos, pues los coeficientes diferenciales dq_1 , dq_2 , dq_3 deben multiplicarse por ellos respectivamente para obtener longitudes de arco. Los factores de escala dependen de las coordenadas y tienen dimensión. Pero su producto con las coordenadas diferenciales tienen dimensión de longitud. i.e.,

$$ds_{q_i} = h_{q_i} dq_i \quad \forall i = 1, 2, 3. \quad (A.12)$$

demostración:

$$\frac{\partial \vec{r}}{\partial q_i} = \frac{\partial \vec{r}}{\partial s_{q_i}} \frac{\partial s_{q_i}}{\partial q_i} = \frac{\partial \vec{r}}{\partial s_{q_i}} \frac{ds_{q_i}}{dq_i} \quad (I)$$

pero

$$\frac{\partial \vec{r}}{\partial s_{q_i}} = \hat{e}_{q_i} \quad (*)$$

utilizando las ecuaciones (A.8) y (*) en la ecuación (I), llegamos

$$h_{q_i} \hat{e}_{q_i} = \frac{ds_{q_i}}{dq_i} \hat{e}_{q_i}$$

entonces

$$\underline{ds_{q_i} = h_{q_i} dq_i}$$

A.2) SISTEMA DE COORDENADAS POLARES

Como aplicación de lo anterior, calcularemos las ecuaciones para la posición, velocidad y aceleración de un punto referido al sistema de coordenadas polares.

Las ecuaciones de transformación son

$$\left. \begin{aligned} x &= \rho \cos \theta & 0 \leq \rho < \infty \\ y &= \rho \sin \theta & 0 \leq \theta \leq 2\pi \end{aligned} \right\} \quad (\text{A.13})$$

El vector de posición en coordenadas cartesianas está dado como

$$\vec{r} = x\hat{i} + y\hat{j} \quad (\text{A.14})$$

y en el sistema cartesiano de coordenadas polares es

$$\vec{r} = \rho \cos \theta \hat{i} + \rho \sin \theta \hat{j} \quad (\text{A.15})$$

Derivando el vector de posición con respecto a cada una de las componentes, obtenemos

$$\frac{\partial \vec{r}}{\partial \rho} = \cos \theta \hat{i} + \sin \theta \hat{j}$$

$$\frac{\partial \vec{r}}{\partial \theta} = -\rho \sin \theta \hat{i} + \rho \cos \theta \hat{j}$$

y aplicando la ecuación (A.9), tenemos

$$h_{\rho} = 1$$

$$h_{\theta} = \rho$$

Ahora encontraremos los vectores unitarios de este sistema.

Utilizando estos dos últimos resultados y la ecuación (A.8), obtenemos en forma matricial:

$$\begin{pmatrix} \hat{e}_{\rho} \\ \hat{e}_{\theta} \end{pmatrix} = \begin{pmatrix} \cos \theta & \sin \theta \\ -\sin \theta & \cos \theta \end{pmatrix} \begin{pmatrix} \hat{i} \\ \hat{j} \end{pmatrix} \quad (\text{A.16})$$

entonces, la matriz de transformación del sistema coordenado cartesiano al sistema de coordenadas polares es:

$$A = \begin{pmatrix} \cos \theta & \sin \theta \\ -\sin \theta & \cos \theta \end{pmatrix}$$

y la matriz transpuesta A^t nos dará la transformación del sistema de coordenadas polares al sistema coordenado cartesiano.

A continuación demostraremos que es un sistema ortogonal

Partiendo de la ecuación (A.5), hay que demostrar que

$$\hat{e}_\rho \cdot \hat{e}_\theta = 0$$

demostración:

$$\hat{e}_\rho \cdot \hat{e}_\theta = [\cos\theta \hat{i} + \text{sen}\theta \hat{j}] \cdot [-\text{sen}\theta \hat{i} + \cos\theta \hat{j}]$$

entonces

$$\hat{e}_\rho \cdot \hat{e}_\theta = 0$$

∴ el sistema coordenado polar es ortogonal.

Una vez obtenida esta demostración, pasaremos a obtener el vector de posición en el sistema de coordenadas polares.

sabemos

$$\vec{r} = (r \cdot \hat{e}_\rho) \hat{e}_\rho + (r \cdot \hat{e}_\theta) \hat{e}_\theta \quad (\text{A.17})$$

sustituyendo las ecuaciones (A.15) y (A.16) en esta ecuación y haciendo el desarrollo algebraico, llegamos

$$\vec{r} = \rho \hat{e}_\rho \quad (\text{A.18})$$

este es el radio vector en el sistema de coordenadas polares.

Derivando la ecuación (A.15) con respecto al tiempo, tenemos

$$\dot{\vec{r}} = (\dot{\rho} \cos\theta - \rho \dot{\theta} \text{sen}\theta) \hat{i} + (\dot{\rho} \text{sen}\theta + \rho \dot{\theta} \cos\theta) \hat{j} \quad (\text{A.19})$$

sabemos

$$\dot{\vec{r}} = (\dot{r} \cdot \hat{e}_\rho) \hat{e}_\rho + (\dot{r} \cdot \hat{e}_\theta) \hat{e}_\theta \quad (\text{A.20})$$

aplicando las ecuaciones (1.16) y (1.19) en esta ecuación, llegamos

$$\dot{\vec{r}} = \dot{\rho} \hat{e}_\rho + \rho \dot{\theta} \hat{e}_\theta \quad (\text{A.21})$$

este es el vector de velocidad en el sistema de coordenadas polares.

Con la misma técnica, encontramos la expresión para la aceleración en el sistema de coordenadas polares y esta es

$$\ddot{\vec{r}} = (\ddot{\rho} - \rho \dot{\theta}^2) \hat{e}_\rho + (2\dot{\rho} \dot{\theta} + \rho \ddot{\theta}) \hat{e}_\theta \quad (\text{A.22})$$

o bien, como

$$\vec{r} = (\rho - \rho\dot{\theta}^2)\hat{e}_\rho + \frac{1}{\rho} \frac{d}{dt}(\rho^2\dot{\theta})\hat{e}_\theta \quad (\text{A. 23})$$

Este sistema de coordenadas es el adecuado para resolver el problema de dos cuerpos.

El sistema de coordenadas cilíndricas elípticas no es el adecuado para representar al sistema planetario, y las razones son que cada planeta tiene diferente orientación y que las expresiones son complicadas y se dificulta su manejo.

APENDICE B RADIO DE ACCION

El campo de fuerza que ejerce el Sol sobre cada uno de los planetas es muy intenso a mayor acercamiento; hay ocasiones en que los campos de fuerzas del planeta y del Sol sobre un cuerpo son comparables en intensidad, es por ello que podemos definir una esfera de acción con radio R_A y centrada en el planeta sobre la cual ambas interacciones son iguales. A continuación describimos el procedimiento para calcular el radio de acción.

Para llegar a ello hacemos lo siguiente:

sabemos

$$\ddot{\vec{R}}_i = G \sum_{j=1}^n \frac{m_j}{r_{ij}^3} \vec{r}_{ij} \quad \forall j \neq i \quad (\text{B.1})$$

donde $\vec{r}_{ij} = \vec{R}_j - \vec{R}_i$

si la ecuación la referimos al cuerpo uno, tenemos

$$\ddot{\vec{R}}_1 = G \sum_{j=2}^n \frac{m_j}{r_{1j}^3} \vec{r}_{1j} \quad (\text{B.2})$$

restando (B.1) de (B.2), obtenemos

$$\ddot{\vec{r}}_{1i} = -G \frac{m_1}{r_{1i}^3} \vec{r}_{1i} + G \sum_{j=2}^n \frac{m_j}{r_{ij}^3} \vec{r}_{ij} - G \sum_{j=2}^n \frac{m_j}{r_{1j}^3} \vec{r}_{1j}$$

$\forall j \neq i \quad \forall j \in N - \{0,1\}$

ya que $\vec{r}_{1i} = -\vec{r}_{i1}$; si queremos $\forall j \neq i$, entonces le quitamos todas las $j=i$ al último término de la suma, teniendo

$$\ddot{\vec{r}}_{1i} = -G (m_i + m_1) \frac{\vec{r}_{1i}}{r_{1i}^3} + G \sum_{j=2}^n m_j \frac{\vec{r}_{ij}}{r_{ij}^3} - G \sum_{j=2}^n m_j \frac{\vec{r}_{1j}}{r_{1j}^3} \quad \forall j \neq i$$

ahora

$$\vec{r}_{ij} = \vec{r}_{1j} - \vec{r}_{1i}$$

así que $r_{ij}^3 = [(\vec{r}_{1j} - \vec{r}_{1i}) \cdot (\vec{r}_{1j} - \vec{r}_{1i})]^{3/2}$

utilizando estas dos últimas ecuaciones y sustituyendo en $\ddot{\vec{r}}_{1i}$

y quitándole el subíndice 1, tenemos

$$\ddot{\vec{r}}_i + G(m_1 + m) \frac{\vec{r}_i}{r_i^3} = G \sum_{j=2}^n m_j \left(\frac{\vec{r}_j - \vec{r}_i}{r_{ij}^3} - \frac{\vec{r}_j}{r_j^3} \right) \quad \forall j \neq i \quad (B.3)$$

Esta es la ecuación de movimiento de la partícula de masa m_1 relativo al de la masa m .

En el caso de un encuentro cercano de una partícula prueba (cometa ó nave espacial) con respecto a un planeta, la esfera de influencia (ó esfera de acción) es siempre una superficie esférica centrada en el planeta, dentro de la cual es más conveniente a tomar la partícula prueba en órbita planetocéntrica y considerarlo como perturbado por el Sol.

El tamaño de una esfera dada puede ser llevado de la siguiente consideración. Sea P el planeta, S el Sol y V la partícula prueba (figura B.1), tienen masas m , M y m' respectivamente, donde $m \ll M$ y m' es despreciable con respecto a ellos. Entonces por la ecuación (B.3), tenemos la ecuación de movimiento de la partícula prueba con respecto al Sol y esta dada por

$$\ddot{\vec{r}}_v + G(M + m') \frac{\vec{r}_v}{r_{vS}^3} = Gm \left(\frac{\vec{r}_P - \vec{r}_v}{r_{vP}^3} - \frac{\vec{r}_P}{r_P^3} \right) \quad (B.4)$$

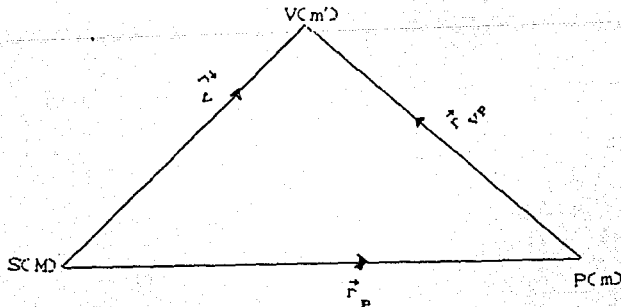


fig. a.1

La ecuación de movimiento de la partícula respecto al planeta es

$$\ddot{\vec{r}}_{PV} + G(m + m') \frac{\vec{r}_{PV}}{r_{PV}^3} = GM \left(\frac{-\vec{r}_P - r_{PV}}{r_V^3} + \frac{\vec{r}_P}{r_P^3} \right) \quad (B.5)$$

ya que $\vec{r}_{PS} = -\vec{r}_P$

como $\vec{r}_V = \vec{r}_{PV} + \vec{r}_P$ y despreciando la masa m' , podemos escribir las ecuaciones (B.4) y (B.5) como

$$\ddot{\vec{r}}_V + GM \frac{\vec{r}_V}{r_V^3} = -GM \left(\frac{\vec{r}_{PV}}{r_{PV}^3} + \frac{\vec{r}_P}{r_P^3} \right) \quad (B.6)$$

$$\ddot{\vec{r}}_{PV} + Gm \frac{\vec{r}_{PV}}{r_{PV}^3} = -GM \left(\frac{\vec{r}_V}{r_V^3} - \frac{\vec{r}_P}{r_P^3} \right) \quad (B.7)$$

Introduciendo A_S , P_P , A_P y P_S a ser definidas como:

$$A_S = GM \frac{\vec{r}_V}{r_V^3}$$

$$P_P = -GM \left(\frac{\vec{r}_{PV}}{r_{PV}^3} + \frac{\vec{r}_P}{r_P^3} \right)$$

$$A_P = Gm \frac{\vec{r}_{PV}}{r_{PV}^3}$$

$$P_S = -GM \left(\frac{\vec{r}_V}{r_V^3} - \frac{\vec{r}_P}{r_P^3} \right)$$

estas ecuaciones son las fuerzas debidas al planeta P o al Sol S.

Entonces

$$\vec{r}_V + A_S = P_P$$

$$\vec{r}_{PV} + A_P = P_S$$

La razón $|F_p|/|A_s|$ y $|P_s|/|A_p|$ da respectivamente el orden de magnitud de la perturbación del planeta en la órbita heliocéntrica de los dos cuerpos y la del Sol en la órbita planetocéntrica de los dos cuerpos. La esfera de acción es tomada a ser la superficie alrededor del planeta donde estas razones son iguales.

sea

$$\vec{r}_{pV} = (\xi, \eta, \zeta) \quad \text{y} \quad |\vec{r}_{pV}| = \rho$$

Coordenadas planetocéntricas de la partícula prueba.

$$\vec{r}_v = (x, y, z) \quad \text{y} \quad |\vec{r}_v| = r_v$$

Coordenadas heliocéntricas de la partícula prueba.

$$\vec{r}_p = (x', y', z') \quad \text{y} \quad |\vec{r}_p| = r_p$$

Coordenadas heliocéntricas del planeta.

Entonces, hay que calcular dichas razones

para $|F_p|$

$$|P_p| = Gm \left\{ \left[\frac{\xi}{\rho^3} + \frac{x'}{r_p^3} \right]^2 + \left[\frac{\eta}{\rho^3} + \frac{y'}{r_p^3} \right]^2 + \left[\frac{\zeta}{\rho^3} + \frac{z'}{r_p^3} \right]^2 \right\}^{1/2}$$

pero

$$\rho^2 = \xi^2 + \eta^2 + \zeta^2,$$

$$r_p^2 = x'^2 + y'^2 + z'^2,$$

$$(\xi, \eta, \zeta) \cdot (x', y', z') = \xi x' + \eta y' + \zeta z' = \rho r_p \cos \theta$$

entonces

$$|P_p| = \left\{ \frac{1}{\rho^4} + \frac{1}{r_p^4} + \frac{2 \cos \theta}{\rho^2 r_p^2} \right\}^{1/2}$$

para $|A_s|$

$$|A_s| = GM/r_v^2$$

Para $|P_s|$

$$|P_s| = Gm \left\{ \left[\frac{x}{r_v^3} - \frac{x'}{r_p^3} \right]^2 + \left[\frac{y}{r_v^3} - \frac{y'}{r_p^3} \right]^2 + \left[\frac{z}{r_v^3} - \frac{z'}{r_p^3} \right]^2 \right\}^{1/2}$$

pero

$$r_v^2 = x^2 + y^2 + z^2,$$

$$x = x' + \xi, \quad y = y' + \eta, \quad z = z' + \zeta$$

$$xx' + yy' + zz' = r_p^2 \left(1 + \frac{\rho}{r} \cos \theta \right)$$

y sea $u = \rho/r_p$

entonces

$$|P_p| = Gm \left\{ \frac{1}{r_v^4} + \frac{1}{r_p^4} - 2 \frac{r_p^2}{r_v^2 r_p^2} \frac{(1 + u \cos \theta)}{r_p^2} \right\}^{1/2}$$

y por último, para $|A_p|$

$$|A_p| = Gm/\rho^2$$

una vez obtenidas las normas calculamos las razones e igualamos, y utilizando la siguiente expresión

$$\begin{aligned} r_v^2 &= (x' + \xi)^2 + (y' + \eta)^2 + (z' + \zeta)^2 \\ &= r_p^2 (1 + 2u \cos \theta + u^2) \end{aligned}$$

entonces, llegamos

$$\left(\frac{m}{M}\right)^2 = \frac{u^4 (1 + 2u \cos \theta + u^2)^{-2}}{(1 + 2u^2 \cos^2 \theta + u^4)^{1/2}} \left\{ 1 + (1 + 2u \cos \theta + u^2)^2 - 2(1 + u \cos \theta)(1 + 2u \cos \theta + u^2) \right\}^{1/2}$$

Desarrollando en serie de potencia a cada término de esta ecuación, haciendo un desarrollo algebraico, llegamos

$$u = \left[\frac{m/M}{(1 + 3 \cos^2 \theta)^{1/2}} \right]^{1/5} + \frac{2}{5} \cos \theta \left[\frac{m/M}{(1 + 3 \cos^2 \theta)^{1/2}} \right]^{2/5} \frac{1 + 6 \cos^2 \theta}{1 + 3 \cos^2 \theta} + \dots$$

si $\theta = 0^\circ$, entonces

$$u = \left(\frac{m/M}{2} \right)^{1/5} + \frac{7}{10} \left(\frac{m/M}{2} \right)^{2/5} + \dots$$

si $\theta = 90^\circ$, entonces

$$u = \left(\frac{m}{M} \right)^{1/5}$$

$\therefore u$ está acotada de

$$\left(\frac{m'M}{2}\right)^{1/5} a \quad u = \left(\frac{m}{M}\right)^{1/5}$$

pero

$$u = \rho/r_p \quad \text{y sea } \rho = RA$$

$$RA = \left(\frac{m'M}{2}\right)^{1/5} r_p \quad : \text{ cota mínima}$$

$$RA = \left(\frac{m}{M}\right)^{1/5} r_p \quad : \text{ cota máxima}$$

En la siguiente tabla se da el radio de la esfera de acción de cada planeta en unidades astronómicas y en millones de kilómetros.

TABLA B.1

PLANETAS	RADIO DE LA ESFERA DE ACCION (RA)	
	AU	Km(10 ⁶)
Mercurio	0.000747	0.122
Venus	0.00411	0.615
Tierra	0.00619	0.925
Marte	0.00367	0.579
Júpiter	0.322	48.1
Saturno	0.365	54.6
Urano	0.348	52.0
Neptuno	0.581	86.9
Plutón	0.0211	3.2

APENDICE C

TABLA C.1

RELACION ENTRE LOS OPERADORES

	E	Δ	δ, μ	∇	D
E =	—	I + Δ	$I + \mu\delta + \frac{1}{2}\delta^2$	$(I - \nabla)^{-1}$	e^{hD}
Δ =	E - I	—	$\mu\delta + \frac{1}{2}\delta^2$	$\nabla(I - \nabla)^{-1}$	$e^{hD} - I$
δ =	$E^{1/2} - E^{-1/2}$	$\Delta(I + \Delta)^{-1/2}$	—	$\nabla(I - \nabla)^{-1/2}$	$2\sinh(\frac{1}{2}hD)$
∇ =	I - E^{-1}	$\Delta(I + \Delta)^{-1}$	$\mu\delta - \frac{1}{2}\delta$	—	$I - e^{-hD}$
hD =	$\log_e E$	$\log_e (I + \Delta)$	$2\sinh^{-1}(\frac{1}{2}\delta^2)$	$-\log_e (I - \nabla)$	—
μ =	$\frac{1}{2}(E^{1/2} + E^{-1/2})$		$(I + \frac{1}{4}\delta^2)^{1/2}$		$\cosh(\frac{1}{2}hD)$

TABLA C. 2

Diagrama de Bucher para el método RI:G-F

a_k										
0										
$\frac{2}{33}$	$\frac{2}{33}$									
$\frac{4}{33}$	0	$\frac{4}{33}$								
$\frac{2}{11}$	$\frac{1}{22}$	0	$\frac{3}{22}$							b_{kj}
$\frac{1}{2}$	$\frac{43}{64}$	0	$-\frac{165}{64}$	$\frac{77}{32}$						
$\frac{2}{3}$	$-\frac{2383}{486}$	0	$\frac{1067}{54}$	$-\frac{26312}{1701}$	$\frac{2176}{1701}$					
$\frac{6}{7}$	$\frac{10077}{4802}$	0	$-\frac{5643}{686}$	$\frac{116259}{16807}$	$-\frac{6240}{16807}$	$\frac{1053}{2401}$				
1	$-\frac{733}{176}$	0	$\frac{141}{8}$	$-\frac{335763}{22296}$	$\frac{216}{77}$	$\frac{4617}{2816}$	$\frac{7203}{9152}$			
0	$\frac{15}{352}$	0	0	$-\frac{5445}{46592}$	$\frac{18}{77}$	$-\frac{1215}{5632}$	$\frac{1029}{16304}$	0		
1	$-\frac{1633}{352}$	0	$\frac{141}{8}$	$-\frac{51237}{3584}$	$\frac{18}{7}$	$-\frac{729}{512}$	$\frac{1029}{1408}$	0	1	
c_k	$\frac{77}{1440}$	0	0	$\frac{1771561}{6289920}$	$\frac{32}{105}$	$\frac{243}{2560}$	$\frac{16807}{74880}$	$\frac{11}{270}$		

TABLA C.3

Coeficientes para el proceso Gauss-Jackson

J	A _j	J	B _j
0	-1/2	0	1/12
1	-1/12	1	0
2	1/24	2	-1/240
3	11/720	3	0
4	-11/1440	4	31/60480
5	-191/60480	5	0
6	191/120960	6	-289/3628800
7	2497/3628800	7	0
8	-2497/7257600	8	317/22809600
9	-14797/95800320	9	0
10	14797/191600640	10	-6803477/2615348736000
11	92427157/2615348736000	11	0
12	-92427157/5230697472000	12	3203699/6276836966400

TABLA C. 3 (continuación)

J	C _j	J	F _j
0	1/12	0	1/2
1	1/12	1	5/12
2	19/240	2	3/8
3	3/40	3	251/720
4	863/12096	4	95/288
5	275/4032	5	19067/60480
6	33953/516400	6	5257/17280
7	8183/129600	7	1070017/3628800
8	3250433/53222400	8	25713/89600
9	4671/78648	9	26642253/95800320
10	13695779093/237758976000	10	4777223/17416240
11	2224234463/39626496000	11	703604254357/2615348736000
12	132282840127/2414168064000	12	106364763817/402361344000

TABLA C. 3 (continuación)

J	D _J	J	E _J
0	1/12	0	-1/2
1	0	1	-1/12
2	-1/240	2	-1/24
3	-1/240	3	-19/720
4	-221/60480	4	-3/160
5	-19/6048	5	-863/60480
6	-9829/3628800	6	-275/24192
7	-407/172800	7	-33953/3628800
8	-330157/159667200	8	-8183/1036800
9	-24377/13305600	9	-3250433/479001600
10	-4281164477/2615348736000	10	-4671/7888480
11	-70074463/47551795200	11	-13695779093/2615348736000
12	-1197622087/8966909995200	12	-2224234463/475517952000

BIBLIOGRAFIA

AUTOR	TITULO, ETC.
Alonso-Finn	Fisica Vol I: Mecánica. Fondo educativo Interamericano.S.A. (1976), p.241-286,411-444.
Andrzej Marciniak	Numerical solutions of the N-body problem. P. Reidel Publishing Company (1985).
G. Arfken	Métodos matemáticos para físicos. Diana (1981),p.767-784.
-----	The astronomical Almanac 1988. Nautical Almanac office.
M. L. Boas	Mathematical methods in the physical sciences John Wiley & Sons (1983),p.647-662.
P. Blomfield	Fourier analysis of time series: An Introduction. John Wiley & Sons, Inc. (1976),p.42-49.
R. L. Burden	Análisis numérico.
J. Douglas	Grupo editorial Iberoamericano (1985),p.221-316.
J. C. Butcher	Coefficients for the study of Runge-Kutta Integration Processes. J. Austral. Math. Soc. <u>3</u> 185-201 (1963)
J. C. Butcher	On Runge-Kutta processes of high order. J. Austral. Math. Soc. <u>4</u> 179-194 (1964)
J. C. Butcher	On the attainable order of Runge-Kutta methods. Math. Comp. <u>19</u> , 408-417 (1965)

CONTINUACION

AUTOR	TITULO; ETC.
J. C. Butcher	Implicit Runge-Kutta processes. Math. Comp. <u>18</u> , 50-64 (1964)
J. C. Butcher	Implicit Runge-Kutta processes. Math. Comp. <u>18</u> , 50-64 (1964)
C. Cruz-Gonzales y M. Lecar	Encounters and escapes. Bull. Astron. 3, 209-211.
E. Everhart	Close encounters of comets and planets. Astronomical Journal <u>75</u> , 735-750 (1969).
E. Fehlberg	New one-step integration methods of high - order accuracy applied to some problems in celestial mechanics. NASA TR R-248 (1966)
E. Fehlberg	Classical Fifth, sixth, seventh and eight - order Runge-Kutta formulae with step-size control. NASA TR R-287 (1968).
D. Flores	Origen dinámico de las estrellas desvocadas. Tesis (1976), p.
D. Flores	Eventos planetarios periódicos. Rev. Mex. Astron. & astrof. <u>14</u> , 643 (1987).
H. Goldstein	Classical Mechanics. Addison-Wesley (1980), p. 70-127.
B. A. Gould	On the accumulation of errors in numerical integration. Astron. J. <u>46</u> , 149-156 (1937).

CONTINUACION

AUTOR	TITULO, ETC.
M. Harwit	Astrophysical Concepts John Wiley & Sons (1983), p. 68-99.
W. Hauser	Introducción a los principios de mecánica. Ed. UTEHA (1966), p. 231-267.
S. Herrick	Astrodynamic, Vol. II. Van Nostrand Reinhold Company, London (1972), p. 22-28.
Hwei P. Hsu	análisis vectorial. Fondo Educativo Interamericano.
H. M. Nautical Almanac office	Planetary coordinates for the years 1960-1980. HMSO, London (1958).
-----	Interpolation and Allied Tables.
J. Jackson	Note on the numerical integration of $d^2x/dt^2 = f(x, t)$. Mon. Not. Roy. Astr. Soc., <u>64</u> , 602 (1924)
Kreider, Kuller, Ostherg Lehmann	An introduction to linear analysis. Addison Wesley Publishing (1966). Geometría analítica. Limusa (1980), 149-210.
R. H. Merson	Numerical integration of the differential equations of celestial mechanics. (1975).
G. M. Murphy	The mathematical of physics and chemistry. Cap. V Van Nostrand Reinhold Company, London (1972), p. 172-197.

CONTINUACION

AUTOR	TITULO, ETC.
V. F. Myachin y	A numerical method of integration by means
O. A. Sizova	of Taylor-Steffensen series and its possible use in the study of motions of comets and minor planets.
-----	I. A. U. Symposium 45, 83-85. Planetary and Lunar Coordinates: for the years 1984-2000. HMSO.
Philip	Data Reduction and Error Analysis for the physical sciences. Mc. Graw-Hill Book Company (1969), p.
Bracewell, R.	The fourier transform and Its applications. Mc. Graw-Hill (1965).
Ramón Canal	El nuevo sistema solar. Prensa Científica (1984).
A. E. Roy	Orbital Motion. Adam-Hilger Ltd, Bristol 1982, p. 69-95, 217-218.
E. B. Shanks	Solutions of differential equations by evaluations of functions. Math. Comp. <u>20</u> , 21-38 (1966)
Keith R. Symon	Mechanics. Addison-Wesley Publishing Company (1969), p.
Tisserand	Traité de mecanique celeste. Cap. 12 Gauthier-Villars, Paris (1889), p.